

# 多传感器融合感知

## 第2章 如何标定多传感器系统？

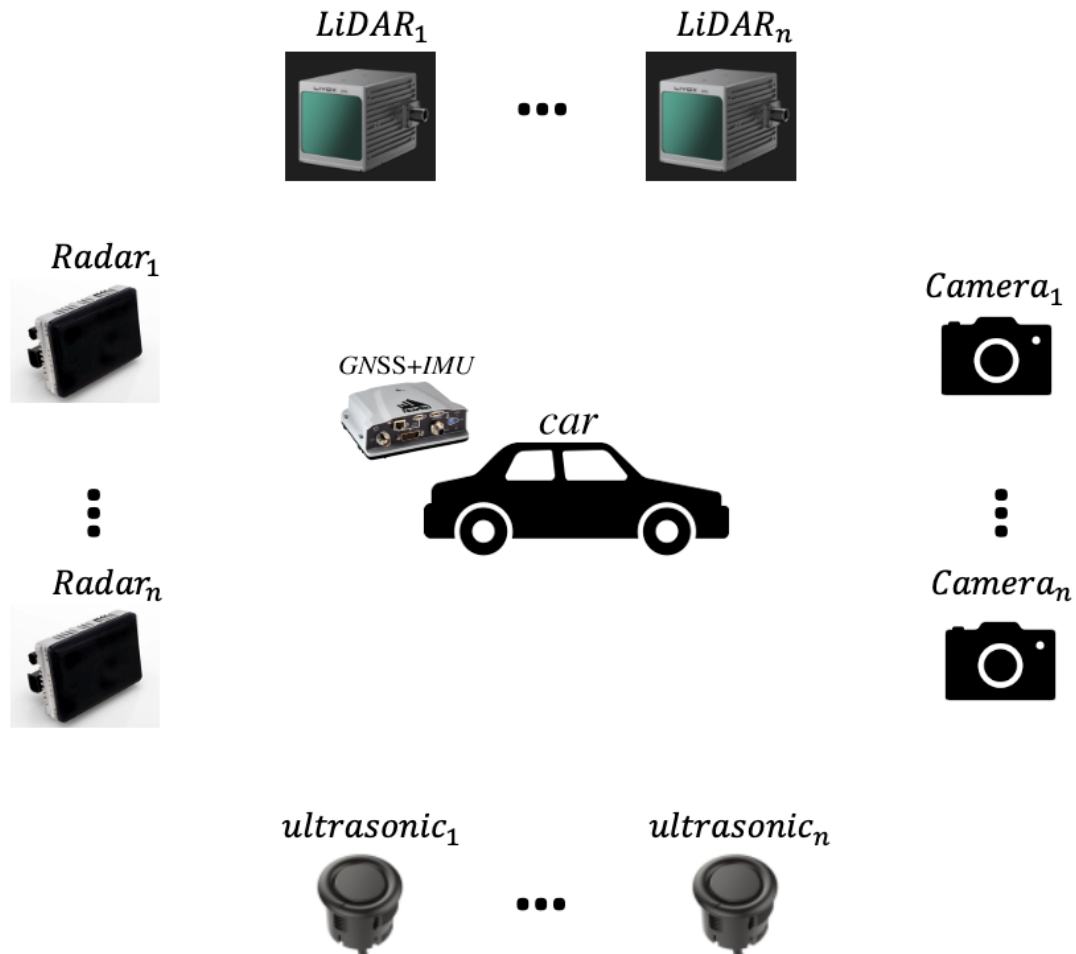




## 本章内容

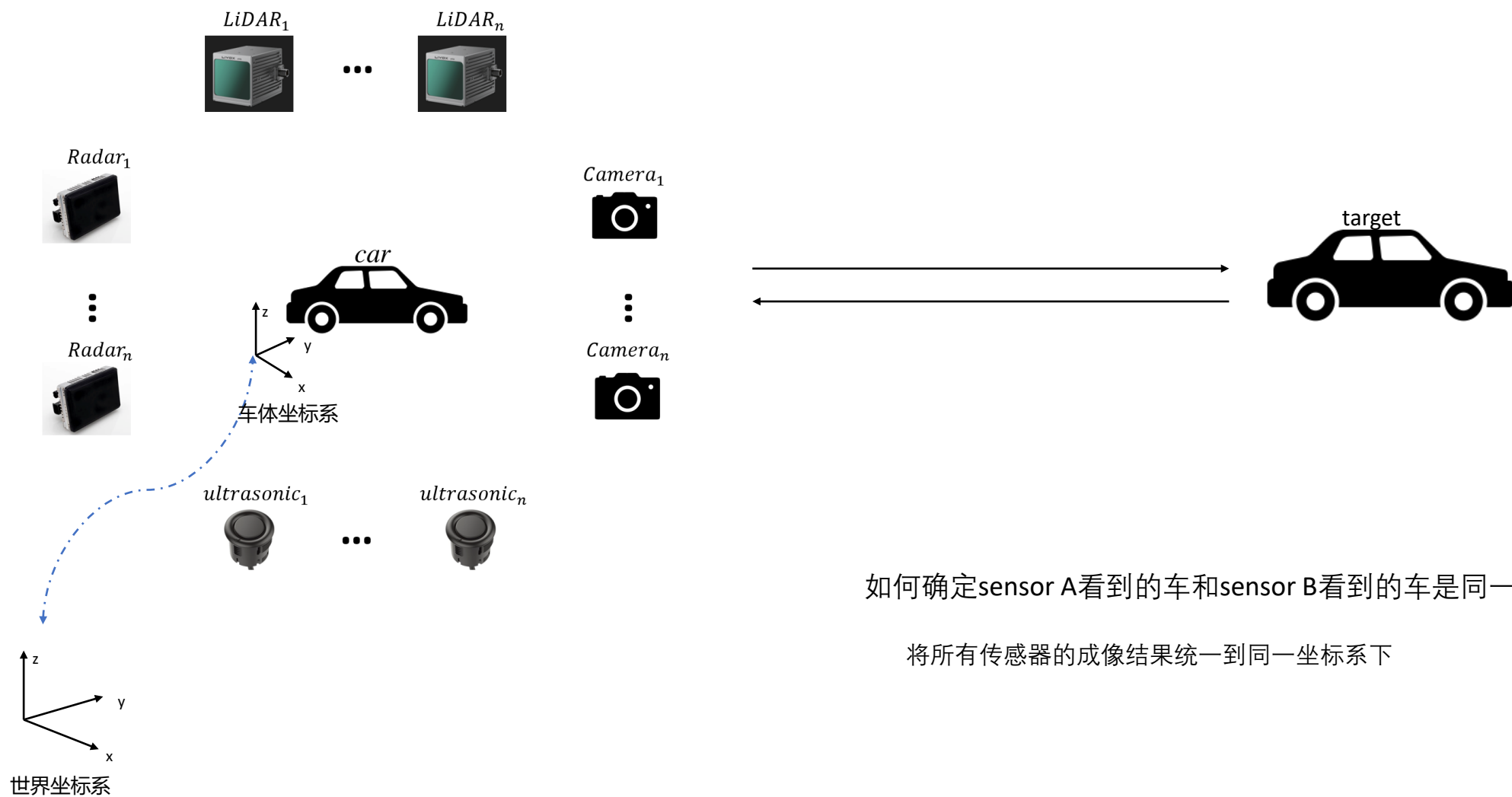
1. 关于标定：传感器内参及外参的介绍
2. 非线性优化简介
3. Camera内参标定
4. 多传感器系统外参标定
5. 外参的在线动态修正

# 如何从多个传感器整合为一套传感器？





# 如何从多个传感器整合为一套传感器？——标定

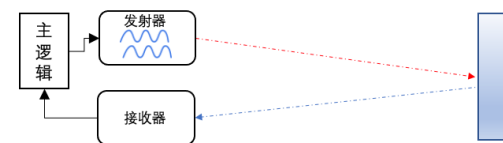
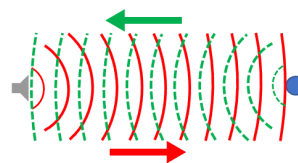
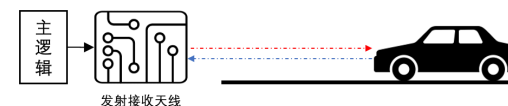
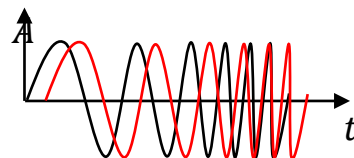
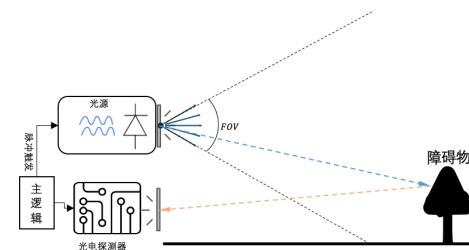
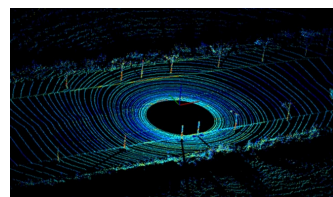
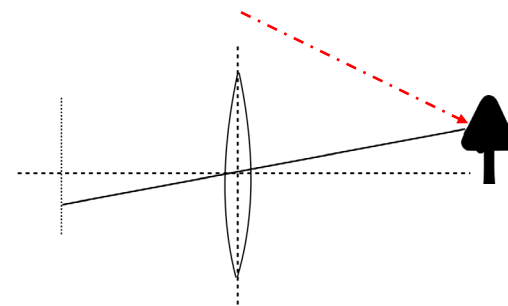
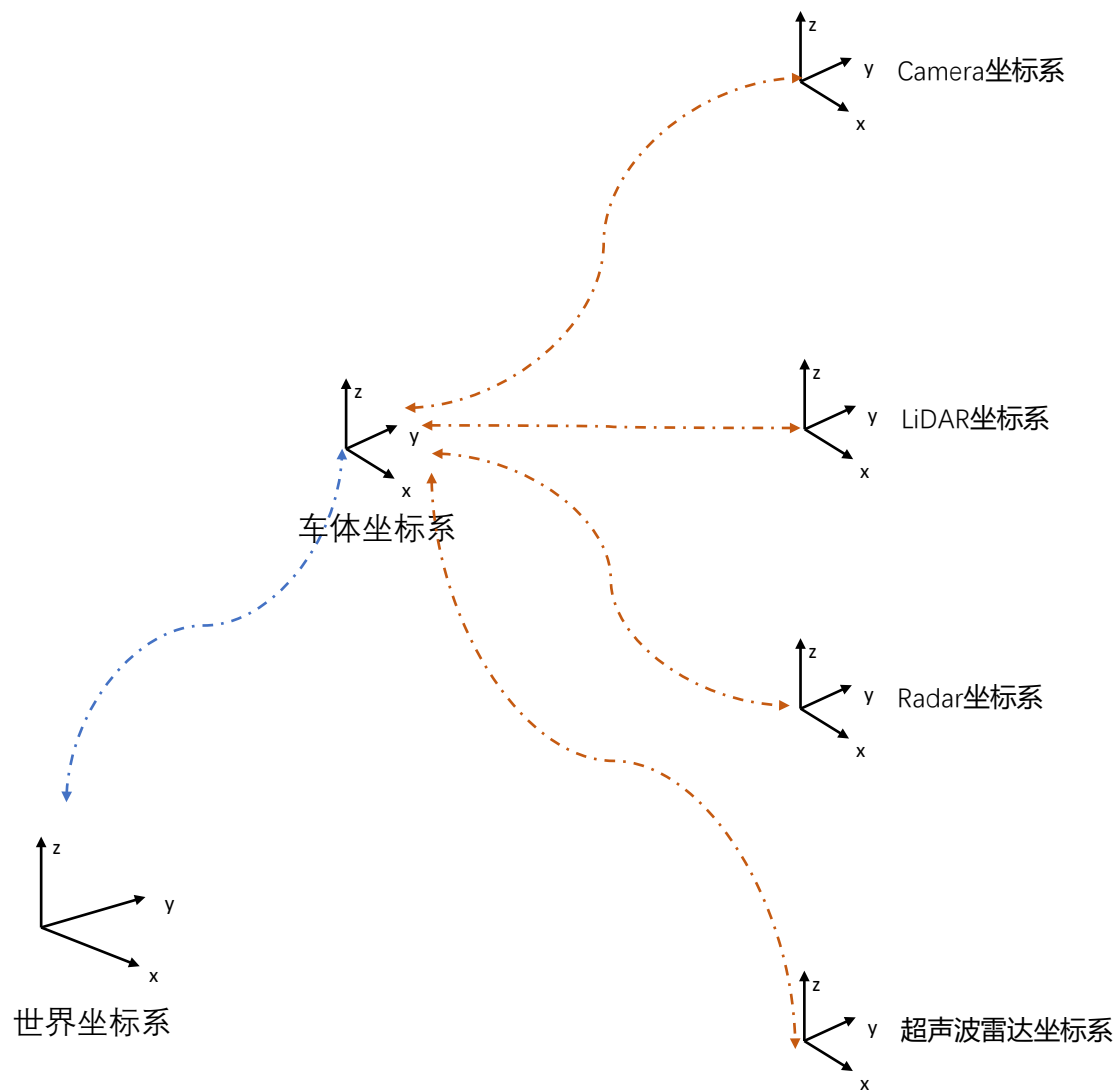


如何确定sensor A看到的车和sensor B看到的车是同一辆车？

将所有传感器的成像结果统一到同一坐标系下

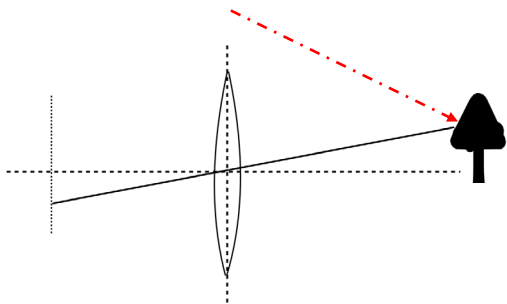


# 如何界定内参与外参?



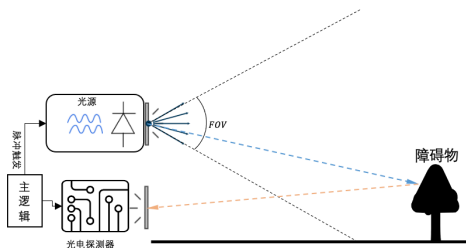


# 研发中，为什么只听说过相机内参？



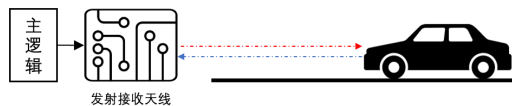
- 棱镜安装偏移
- 焦距
- 相机坐标系与图像坐标系之间转换关系
- ...

- 可通过算法补偿
- 因工艺问题，需要重标



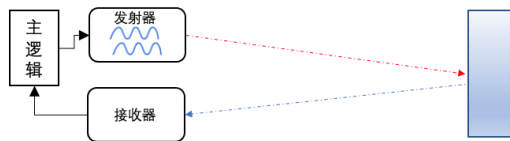
- 激光头的安装位置和角度
- 强度值一致性要求
- ...

- 需要专业设备
- 出厂已标好



- 发射天线安装位置
- 接收天线距离
- ...

- 需要专业设备
- 出厂已标好

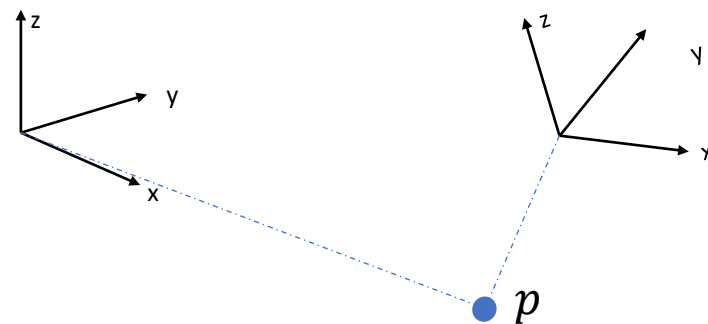
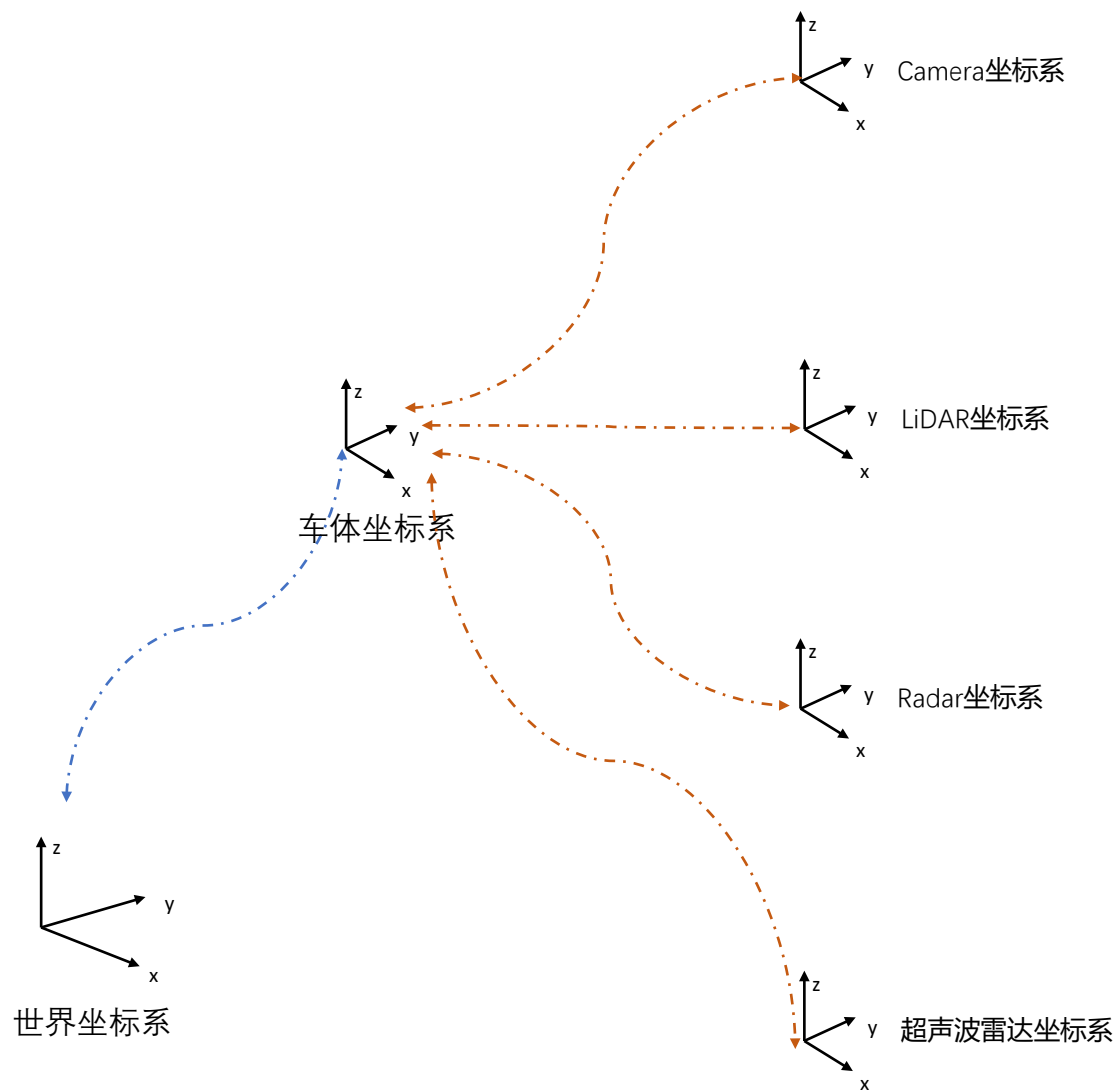


- 压电陶瓷输入的电流电压值
- 安装高度及感知区域扇面尺寸
- ...

- 需要专业设备
- 出厂已标好

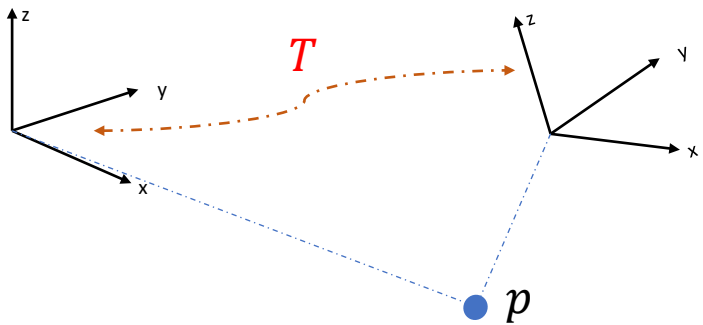


# 关于外参





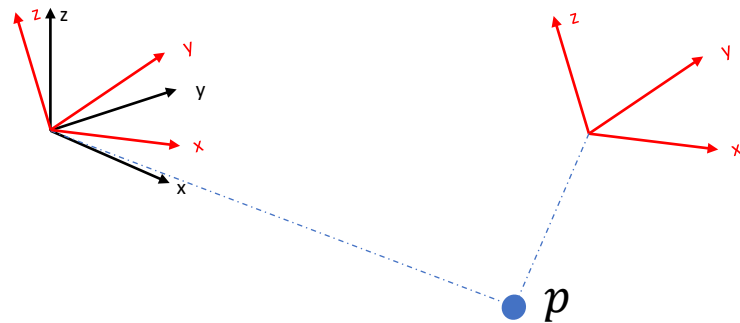
# 外参的表达形式



$$[\mathbf{e}_1 \quad \mathbf{e}_2 \quad \mathbf{e}_3] \begin{bmatrix} x \\ y \\ z \end{bmatrix} = [\mathbf{e}'_1 \quad \mathbf{e}'_2 \quad \mathbf{e}'_3] \begin{bmatrix} x' \\ y' \\ z' \end{bmatrix}$$

$$\begin{bmatrix} x \\ y \\ z \end{bmatrix} = \begin{bmatrix} \mathbf{e}_1^T \\ \mathbf{e}_2^T \\ \mathbf{e}_3^T \end{bmatrix} [\mathbf{e}'_1 \quad \mathbf{e}'_2 \quad \mathbf{e}'_3] \begin{bmatrix} x' \\ y' \\ z' \end{bmatrix}$$

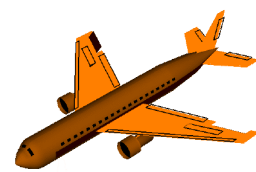
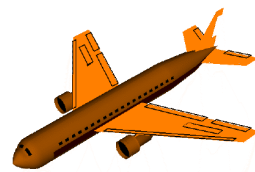
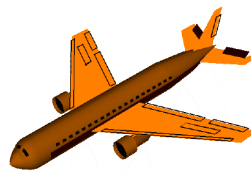
$$\begin{bmatrix} x \\ y \\ z \end{bmatrix} = \mathbf{R} \begin{bmatrix} x' \\ y' \\ z' \end{bmatrix} \quad \text{其中, } \mathbf{R} \in \mathbb{R}^{3 \times 3}, \mathbf{R}\mathbf{R}^T = \mathbf{I}, \det(\mathbf{R}) = 1$$



$$\begin{bmatrix} x \\ y \\ z \end{bmatrix} = \mathbf{R} \begin{bmatrix} x' \\ y' \\ z' \end{bmatrix} + \mathbf{t}$$

$$\begin{bmatrix} x \\ y \\ z \\ 1 \end{bmatrix} = \begin{bmatrix} \mathbf{R} & \mathbf{t} \\ \mathbf{0}^T & 1 \end{bmatrix} \begin{bmatrix} x' \\ y' \\ z' \\ 1 \end{bmatrix} = \mathbf{T} \begin{bmatrix} x' \\ y' \\ z' \\ 1 \end{bmatrix}$$

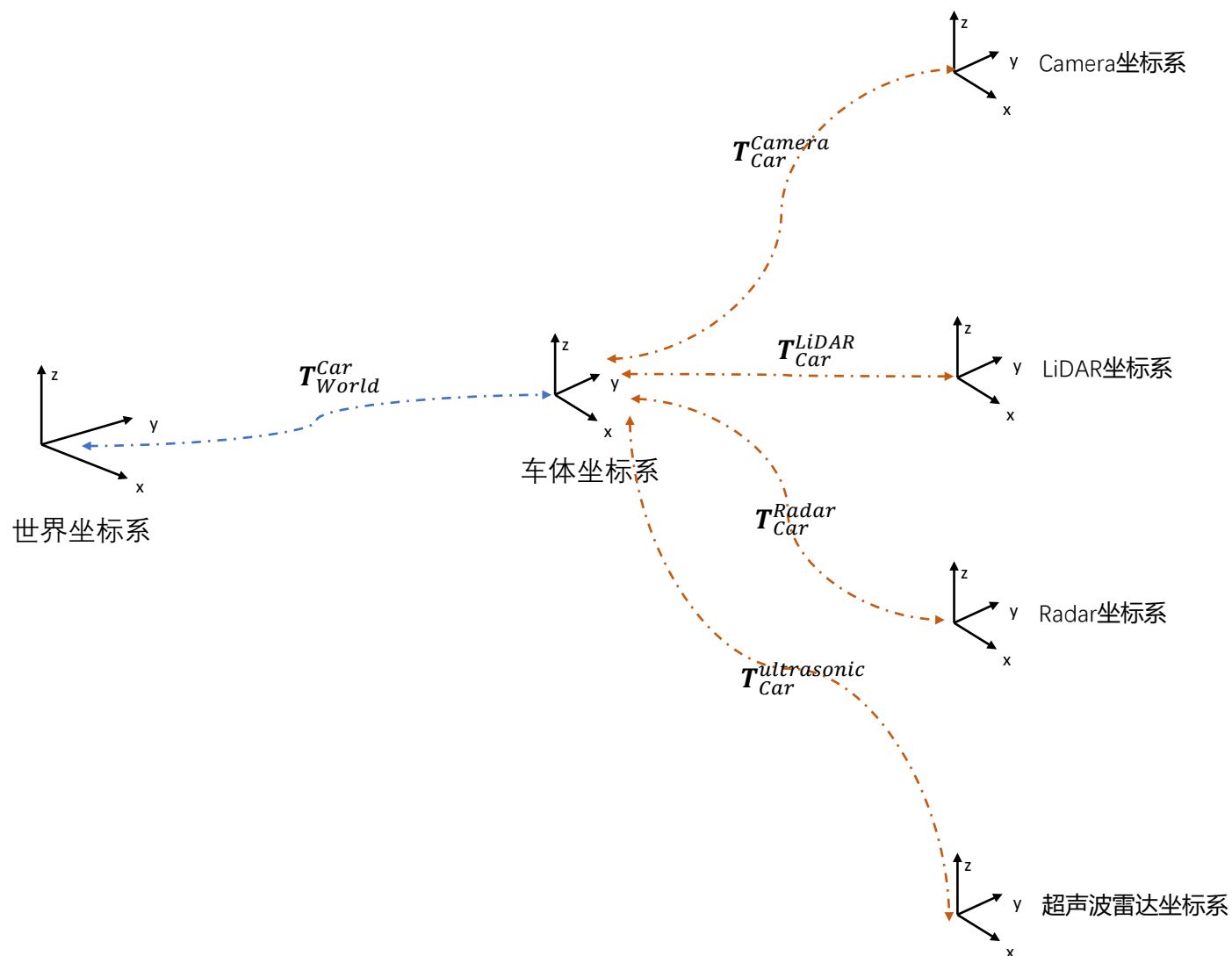
$\mathbf{R}$ 通常用欧拉角 $pitch$ （俯仰角）, $yaw$ （偏航角）, $roll$ （横滚角）表示。







# 如何打通所有传感器坐标系到车体坐标系的外参?



## 解法1:

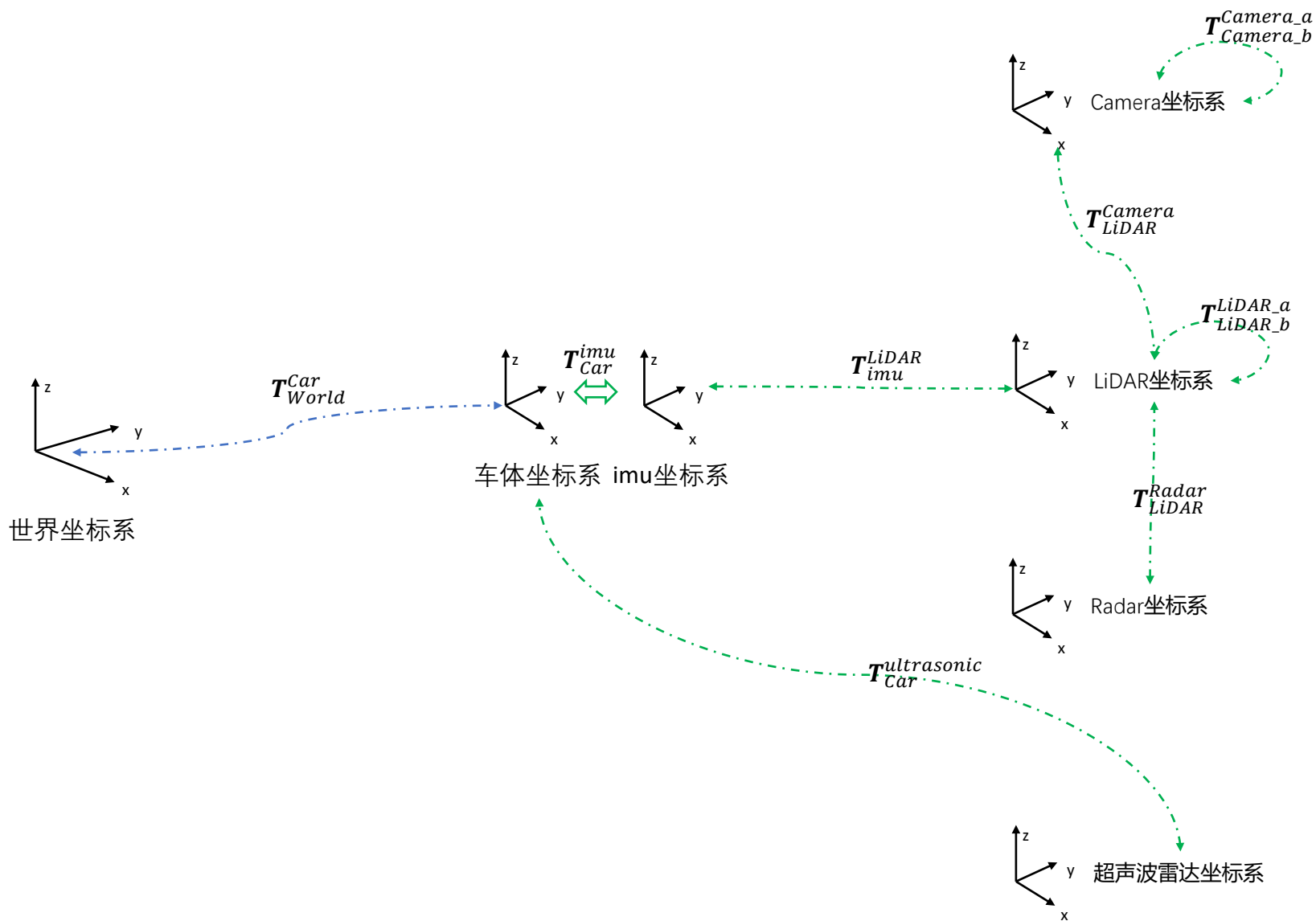
- 直接标各传感器与车体坐标系

## 解法2:

- 标部分传感器与车体坐标系
- 另外一部分通过传感器之间实现标定



# 如何界定内参与外参?



$$T_{Car}^{LiDAR} = T_{Car}^{imu} T_{imu}^{LiDAR}$$

$$T_{Car}^{Camera} = T_{Car}^{LiDAR} T_{LiDAR}^{Camera}$$

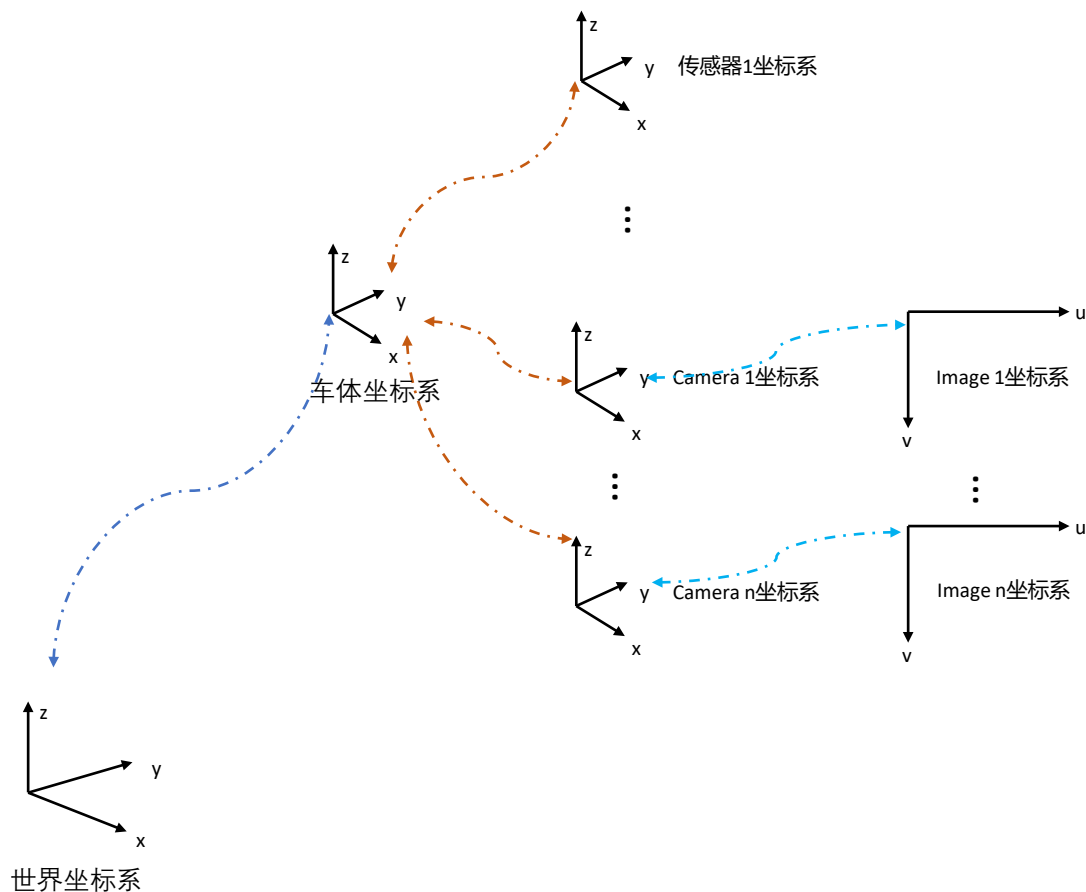
$$T_{Car}^{Radar} = T_{Car}^{LiDAR} T_{LiDAR}^{Radar}$$

$T_{Car}^{ultrasonic}$  偏移通常通过测量确定, 旋转手动补偿

$T_{World}^{Car}$  由定位获取



# 如何将所有传感器的成像结果统一到同一坐标系下？



## 内参标定

- Camera: 标定相机坐标系到uv坐标系的投影关系。

## 外参标定

- 各传感器到车体坐标系的转换关系，包含：
  - IMU(GNSS) – Car
  - LiDAR – Camera
  - Camera – Camera
  - LiDAR – LiDAR
  - LiDAR – IMU(GNSS)
  - LiDAR – Radar
  - 超声波雷达 – Car

## 定位

- 确定车体坐标系与世界坐标系的转换关系。

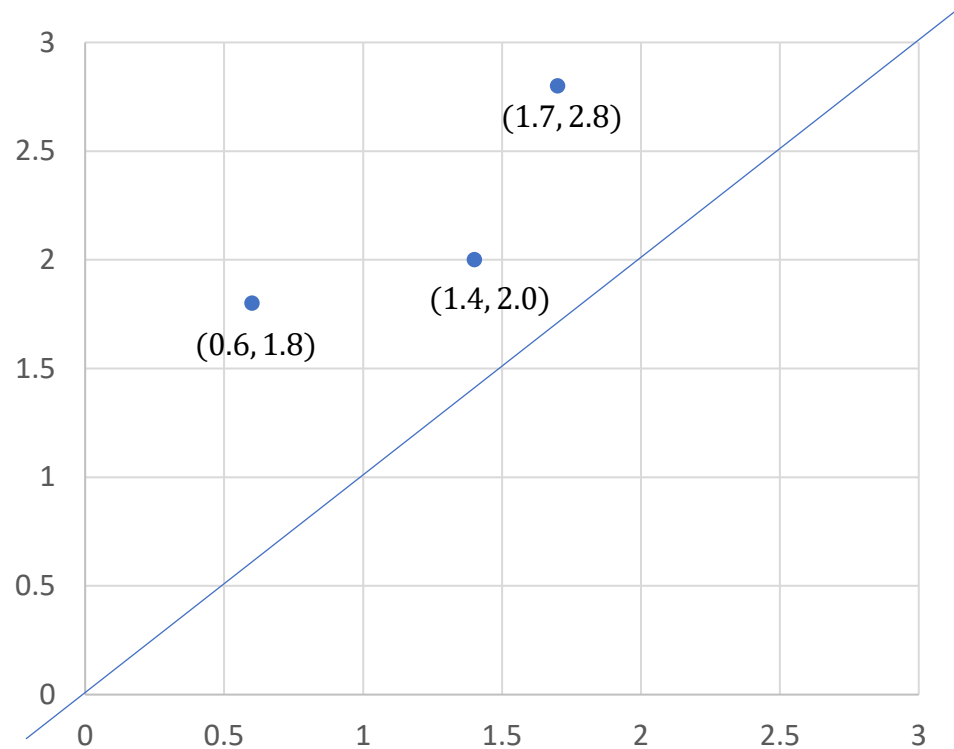


## 本章内容

1. 关于标定：传感器内参及外参的介绍
2. 非线性优化简介
3. Camera内参标定
4. 多传感器系统外参标定
5. 外参的在线动态修正



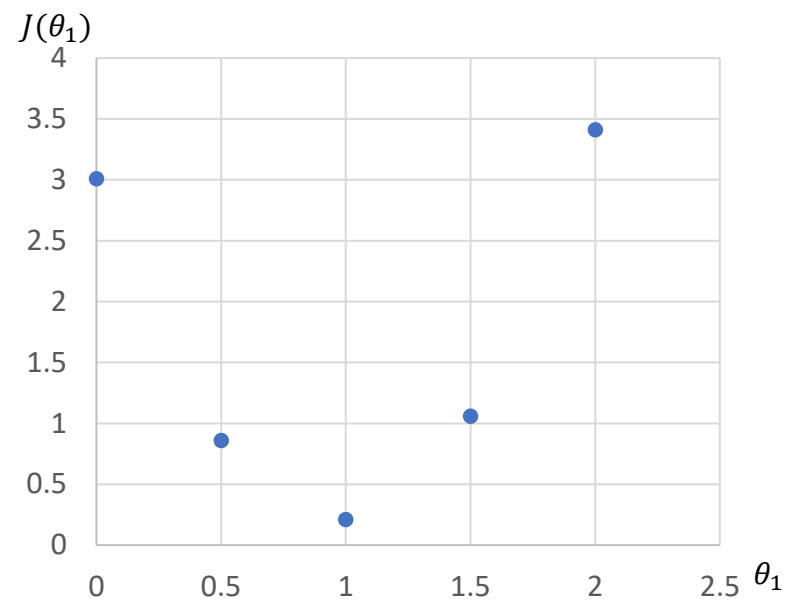
# 非线性最小二乘问题求解



$$f(x) = \theta_0 x + \theta_1$$
$$J(\theta_0, \theta_1) = \sum_i \|y_i - f(x_i)\|^2$$

假设  $\theta_0 = 1$ ，我们看看如何求解  $\theta_1$ ？

$$\begin{aligned} J(\theta_1) &= (1.8 - 0.6 - \theta_1)^2 + (2.0 - 1.4 - \theta_1)^2 + (2.8 - 1.7 - \theta_1)^2 \\ &= (1.2 - \theta_1)^2 + (0.6 - \theta_1)^2 + (1.1 - \theta_1)^2 \\ &= 3\theta_1^2 - 5.8\theta_1 + 3.01 \end{aligned}$$

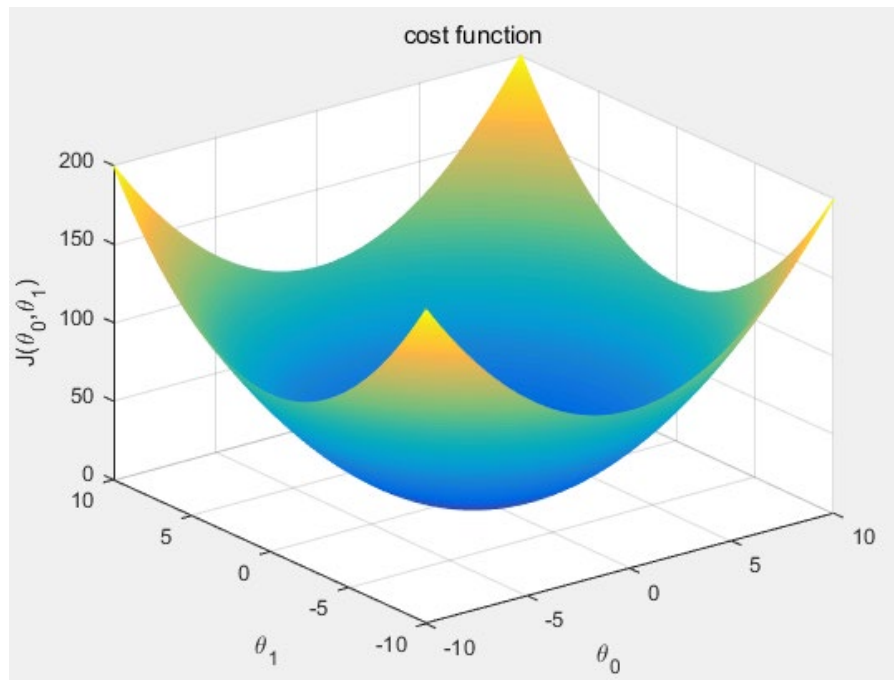


$$\frac{dJ}{d\theta_1} = 6\theta_1 - 5.8$$



# 非线性最小二乘问题求解

当  $\theta_0$  不确定, 我们需要同时关注  $\theta_0$  和  $\theta_1$ :



- 找一个初始值  $(\theta_0, \theta_1)$
- 沿着负梯度的方向逐步迭代

$$\theta'_0 = \theta_0 + \Delta\theta_0$$

$$\theta'_1 = \theta_1 + \Delta\theta_1$$

$$\Delta\theta_0 = -\lambda \frac{\partial J}{\partial \theta_0} \quad \Delta\theta_1 = -\lambda \frac{\partial J}{\partial \theta_1}$$

- 当  $(\Delta\theta_0, \Delta\theta_1)$  足够小时, 即完成求解

梯度下降 (Gradient Descent)



# 非线性优化

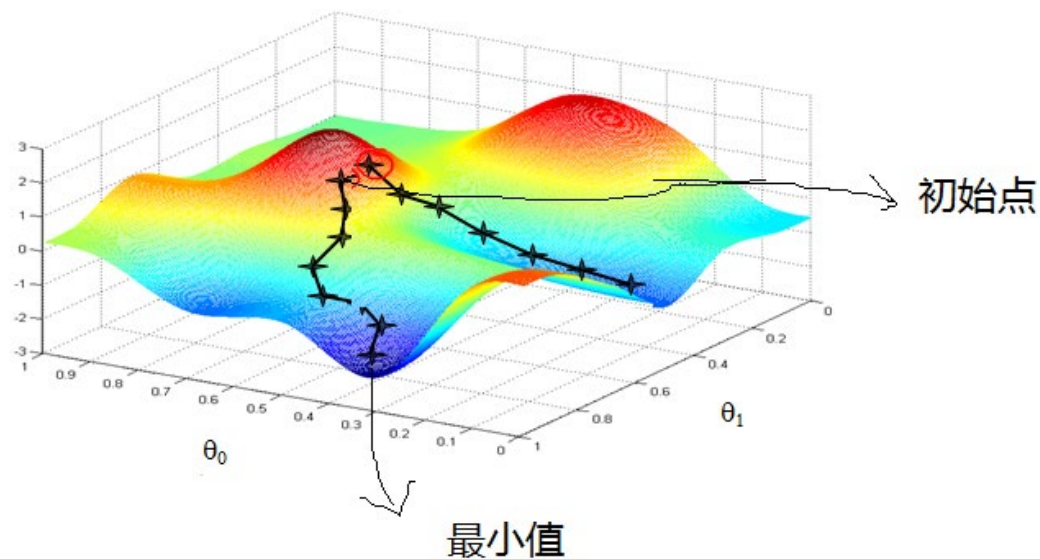
$$\min_{\mathbf{x}} \frac{1}{2} \|\mathbf{f}(\mathbf{x})\|_2^2$$

其中,  $\mathbf{x} \in R^n$ ,  $\mathbf{f}$  是任意非线性函数,  $\mathbf{f}(\mathbf{x}) \in R^m$

思路:

- (1) 给定某个初始值  $\mathbf{x}_0$ ;
- (2) 对于第  $k$  次迭代, 寻找一个增量  $\Delta \mathbf{x}_k$ , 使得  $\|\mathbf{f}(\mathbf{x}_k + \Delta \mathbf{x}_k)\|_2^2$  达到极小值;
- (3) 若  $\Delta \mathbf{x}_k$  足够小, 则停止;
- (4) 否则, 令  $\mathbf{x}_{k+1} = \mathbf{x}_k + \Delta \mathbf{x}_k$ , 返回第(2)步。

如何确定  $\Delta \mathbf{x}_k$  呢?





# 非线性优化——如何确定 $\Delta x$

**方法1:** 将  $\|f(x + \Delta x)\|_2^2$  在  $x$  处二阶泰勒展开:

$$\|f(x + \Delta x)\|_2^2 \approx \|f(x)\|_2^2 + J(x)\Delta x + \frac{1}{2}\Delta x^T H(x)\Delta x$$

其中,  $J(x)$ 是  $\|f(x)\|_2^2$ 在  $x$  的一阶导数 (Jacobian矩阵),

$H(x)$ 是二阶导数 (Hessian矩阵)。

仅保留一阶项

$$\Delta x^* = -J(x)^T$$

通常这个梯度会乘一个步长 $\lambda$ , 即 $\Delta x^* = -\lambda J(x)^T$ 。

最速下降法

保留二阶项

$$\Delta x^* = \operatorname{argmin}(\|f(x)\|_2^2 + J(x)\Delta x + \frac{1}{2}\Delta x^T H(x)\Delta x)$$

右侧对  $\Delta x$  求导可得:

$$H(x)\Delta x = -J(x)^T$$

牛顿法

**方法2:** 对 $f(x + \Delta x)$ 在  $x$  处一阶泰勒展开:

$$f(x + \Delta x) \approx f(x) + J(x)\Delta x$$

其中,  $J(x)$ 是  $f(x)$  在  $x$  处的导数。则目标函数:

$$\|f(x + \Delta x)\|_2^2 = \|f(x) + J(x)\Delta x\|_2^2$$

则,  $\Delta x^* = \operatorname{argmin}(\|f(x) + J(x)\Delta x\|_2^2)$

进一步,

$$\begin{aligned} & \|f(x) + J(x)\Delta x\|_2^2 \\ &= (f(x) + J(x)\Delta x)^T (f(x) + J(x)\Delta x) \\ &= (\|f(x)\|_2^2 + 2f(x)^T J(x)\Delta x + \Delta x^T J(x)^T J(x)\Delta x) \end{aligned}$$

对  $\Delta x$  求导, 并令导数为零:

$$2J(x)^T f(x) + 2J(x)^T J(x)\Delta x = 0 \Rightarrow J(x)^T J(x)\Delta x = -J(x)^T f(x)$$

求解线性方程组 $H(x)\Delta x = g$ 。

高斯牛顿法

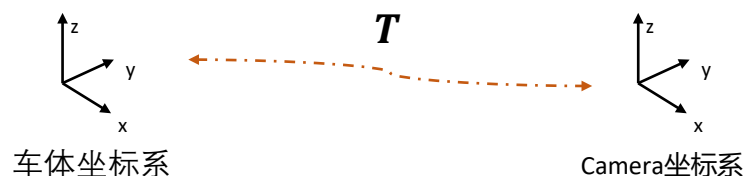




# 标定问题中的非线性优化

$$\min_{\mathbf{x}} \frac{1}{2} \|\mathbf{f}(\mathbf{x})\|_2^2$$

其中,  $\mathbf{x} \in \mathbb{R}^n$ ,  $\mathbf{f}$  是任意非线性函数,  $\mathbf{f}(\mathbf{x}) \in \mathbb{R}^m$



$$\mathbf{T} = \begin{bmatrix} \mathbf{R} & \mathbf{t} \\ \mathbf{0}^T & 1 \end{bmatrix}$$

其中,  $\mathbf{R} \in \mathbb{R}^{3 \times 3}$ ,  $\mathbf{R}\mathbf{R}^T = \mathbf{I}$ ,  $\det(\mathbf{R}) = 1$

带约束的非线性优化问题, 如何求解?

- 用李代数表达位姿, 利用李代数求导方法, 可转化为无约束优化问题
- 沿用非线性优化求解

李群李代数相关内容可以参考:

- 《机器人学中的状态估计》《视觉SLAM十四讲》李群相关章节
- V.S. varadarajan, Lie groups, Lie algebras, and their representations, vol 102. Springer Science & Business Media, 2013

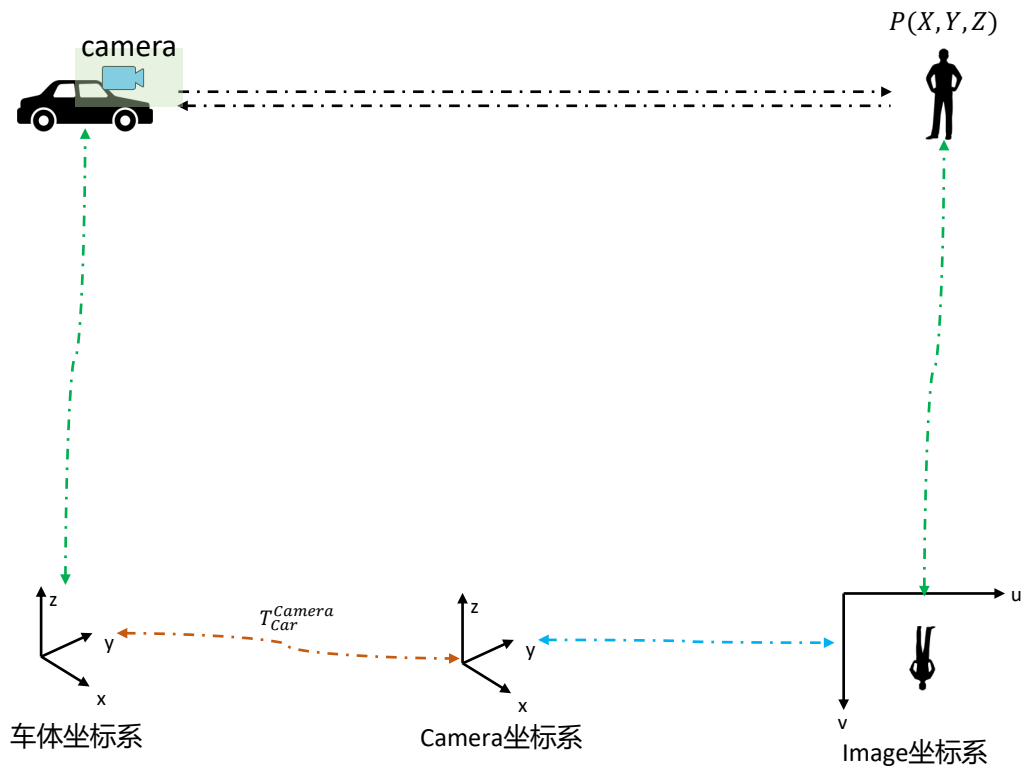


## 本章内容

1. 关于标定：传感器内参及外参的介绍
2. 非线性优化简介
3. Camera内参标定
4. 多传感器系统外参标定
5. 外参的在线动态修正



# Camera成像过程的建模



1. 车体坐标系下的目标 $P(X,Y,Z)$ , 在Camera坐标系下的坐标为 $P'$  :

$$P' = T_{Car}^{CameraT} \begin{bmatrix} X \\ Y \\ Z \\ 1 \end{bmatrix}$$

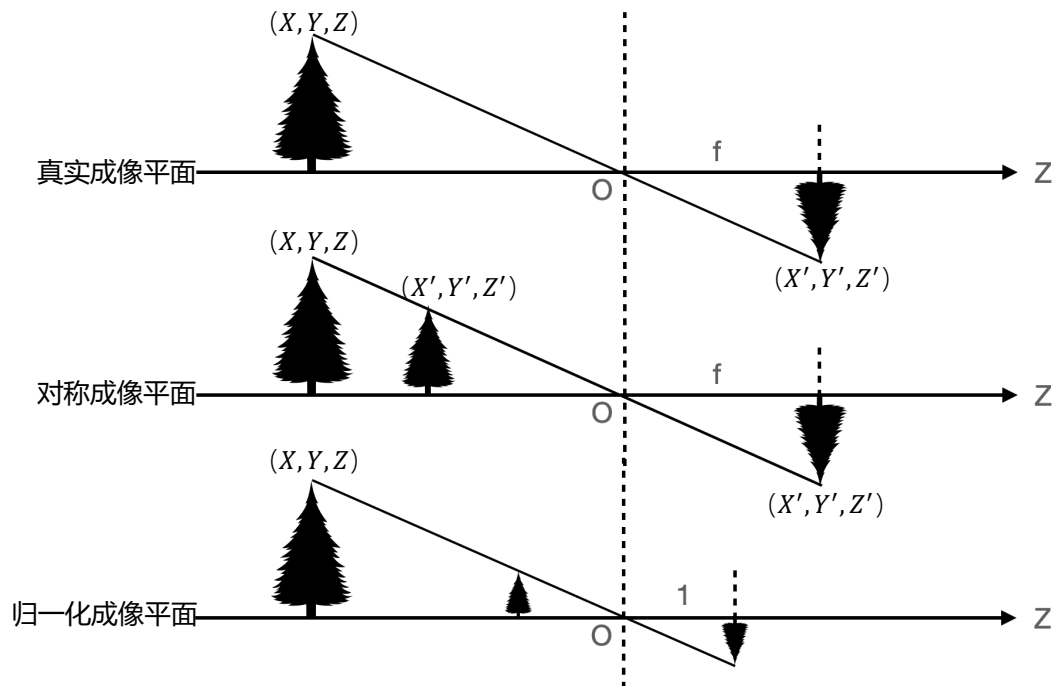
其中:

$$T_{Car}^{Camera} = \begin{bmatrix} R & t \\ 0^T & 1 \end{bmatrix}$$

2. 相机坐标系下的 $P'$  投影至图像坐标系的相机成像过程



# Camera成像过程的建模



成像两阶段:

1. 相机坐标系  $\rightarrow$  图像坐标系
2. 图像坐标系  $\rightarrow$  像素坐标系

1. 相机坐标系  $\rightarrow$  图像坐标系

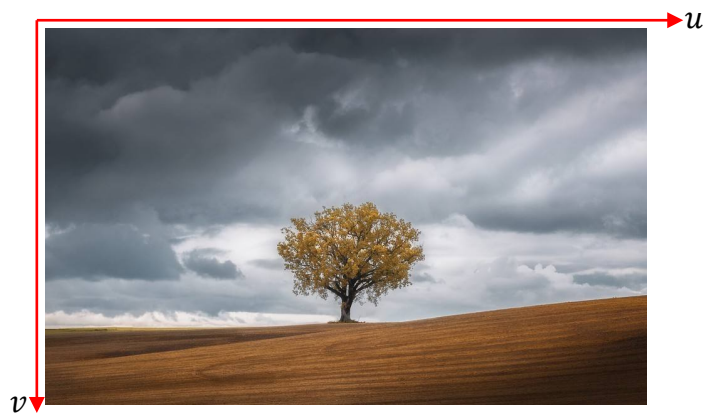
$$\frac{Z}{f} = \frac{X}{X'} = \frac{Y}{Y'} \Rightarrow \begin{aligned} X' &= f \cdot \frac{X}{Z} \\ Y' &= f \cdot \frac{Y}{Z} \end{aligned}$$

2. 图像坐标系  $\rightarrow$  像素坐标系

$$\begin{aligned} u &= \alpha \cdot X' + c_x \\ v &= \beta \cdot Y' + c_y \end{aligned} \xrightarrow[f_y = \beta \cdot f]{f_x = \alpha \cdot f} \begin{aligned} u &= f_x \frac{X}{Z} + c_x \\ v &= f_y \frac{Y}{Z} + c_y \end{aligned}$$

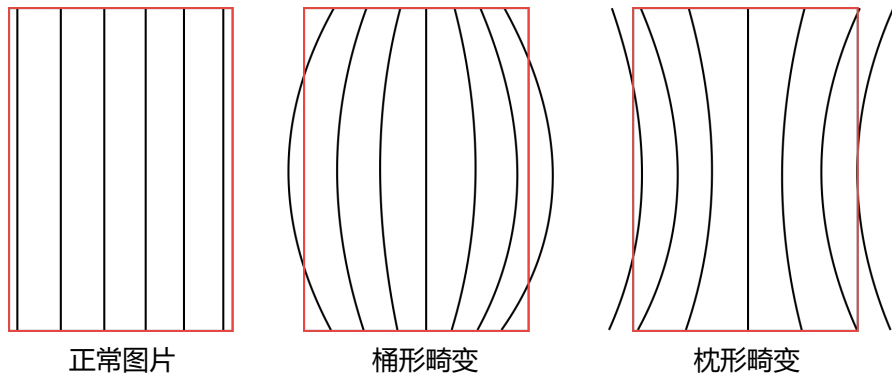
记内参矩阵为  $\mathbf{K}$ , 则:

$$\begin{bmatrix} u \\ v \\ 1 \end{bmatrix} = \frac{1}{Z} \begin{bmatrix} f_x & 0 & c_x \\ 0 & f_y & c_y \\ 0 & 0 & 1 \end{bmatrix} \begin{bmatrix} X \\ Y \\ Z \end{bmatrix} = \frac{1}{Z} \mathbf{K} \begin{bmatrix} X \\ Y \\ Z \end{bmatrix}$$



# Camera成像过程中存在畸变，如何建模？

1. 径向畸变：透镜自身形状难以做到完全规则，因此会对光线传播产生影响，从而引起径向畸变



$$x_{distorted} = x(1 + k_1r^2 + k_2r^4 + k_3r^6)$$

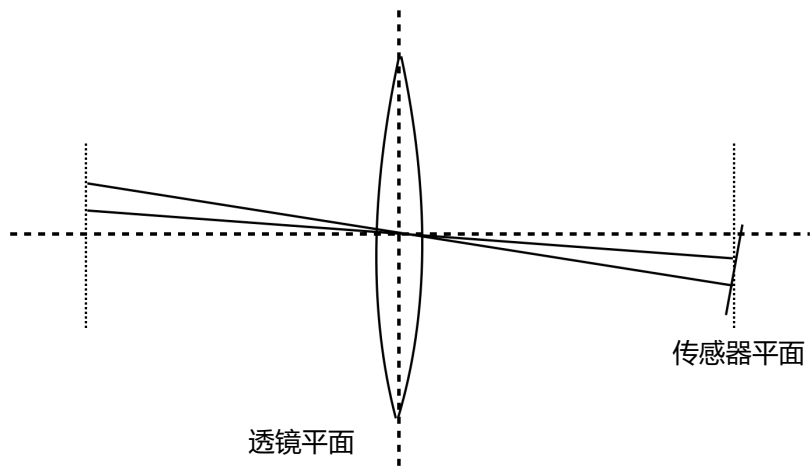
$$y_{distorted} = y(1 + k_1r^2 + k_2r^4 + k_3r^6)$$

其中，

$(x, y)$ : 归一化平面点的坐标，方便建模

$r$ : 该点的坐标与坐标系原点的距离

2. 切向畸变：机械组件的安装过程中，透镜和成像平面不可能完全平行。



$$x_{distorted} = x + 2p_1xy + p_2(r^2 + 2x^2)$$

$$y_{distorted} = y + 2p_2xy + p_1(r^2 + 2y^2)$$

其中，

$(x, y)$ : 归一化平面点的坐标

$r$ : 该点的坐标与坐标系原点的距离



# Camera成像过程的建模

(1) 自车坐标系 → 相机坐标系

三维空间点 $(X, Y, Z)$ ,  $\mathbf{R}$ 为旋转矩阵,  $\mathbf{t}$ 为平移量,

$$\begin{bmatrix} x_c \\ y_c \\ z_c \end{bmatrix} = \begin{bmatrix} \mathbf{R} & \mathbf{t} \\ 0 & 1 \end{bmatrix} \begin{bmatrix} X \\ Y \\ Z \\ 1 \end{bmatrix}$$

(2) 相机坐标系 → 图像坐标系 (不考虑畸变)

$$\begin{bmatrix} x \\ y \\ 1 \end{bmatrix} = \frac{1}{z_c} \begin{bmatrix} f & 0 & 0 & 0 \\ 0 & f & 0 & 0 \\ 0 & 0 & 1 & 0 \end{bmatrix} \begin{bmatrix} x_c \\ y_c \\ z_c \\ 1 \end{bmatrix}$$

(3) 图像坐标系 (含去畸变) :

将 $(x_c, y_c, z_c)$ 投影到归一化平面上 $(x, y) = (x_c/z_c, y_c/z_c)$ , 再进行 (径向与切向) 畸变修正, 得到去畸变后的归一化坐标。

$$\begin{cases} x_{distorted} = x(1 + k_1 r^2 + k_2 r^4 + k_3 r^6) + 2p_1 xy + p_2(r^2 + 2x^2) \\ y_{distorted} = y(1 + k_1 r^2 + k_2 r^4 + k_3 r^6) + 2p_2 xy + p_1(r^2 + 2y^2) \end{cases}$$

(4) 图像坐标系 → 像素坐标系

将纠正后的点投影到像素平面, 其中 $(\alpha, \beta)$ 为坐标系缩放系数,  $(c_x, c_y)$ 为坐标系平移量。

$$\begin{bmatrix} u \\ v \\ 1 \end{bmatrix} = \begin{bmatrix} \alpha & 0 & c_x \\ 0 & \beta & c_y \\ 0 & 0 & 1 \end{bmatrix} \begin{bmatrix} x_{distorted} \\ y_{distorted} \\ 1 \end{bmatrix}$$

通常意义上, 相机需要标定的参数如下:

$$\underbrace{[f, \alpha, \beta, c_x, c_y, k_1, k_2, k_3, p_1, p_2]}_{\text{内参} \quad \text{畸变参数}}$$

$$\begin{bmatrix} u \\ v \\ 1 \end{bmatrix} = \mathbf{H} \begin{bmatrix} \mathbf{R} & \mathbf{t} \\ 0 & 1 \end{bmatrix} \begin{bmatrix} X \\ Y \\ Z \\ 1 \end{bmatrix}$$

其中, 矩阵 $\mathbf{H}$ 内包含 $f, \alpha, \beta, c_x, c_y, k_1, k_2, k_3, p_1, p_2$ 这些内参与畸变参数。对于每个相机来说, 参数都不一致, 因此需要标定。



# 将Camera内参标定问题转化为非线性优化问题

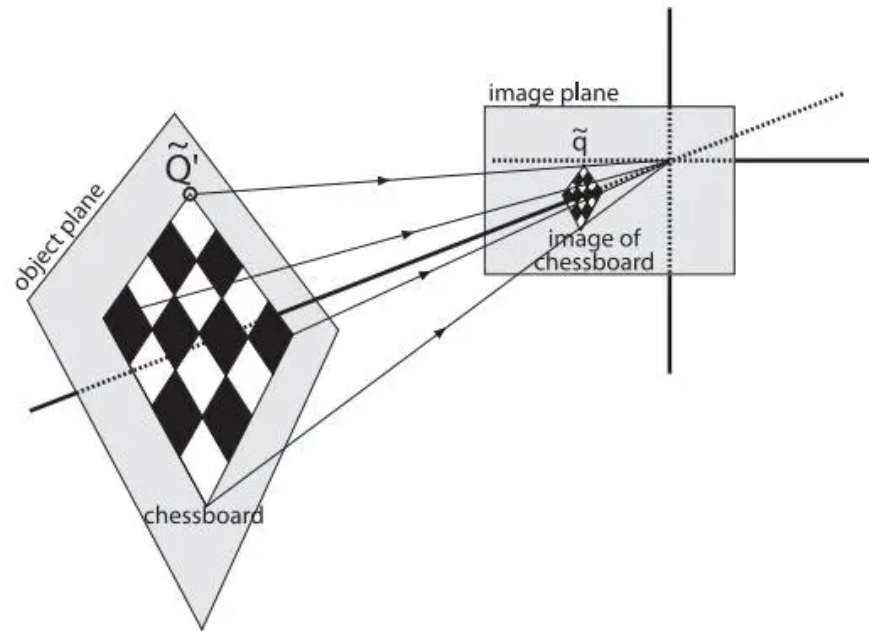
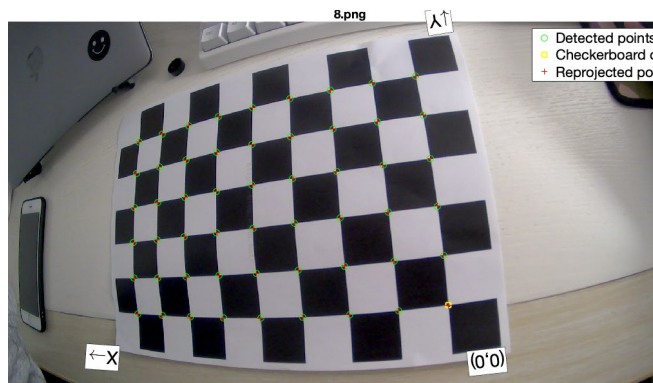
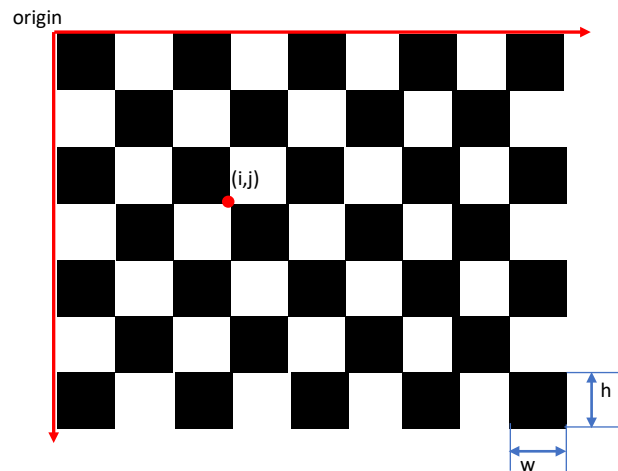
- 棋盘格尺寸是定制的，角点之间的3D位置可计算

$$\begin{bmatrix} u \\ v \\ 1 \end{bmatrix} = H \begin{bmatrix} R & t \\ 0 & 1 \end{bmatrix} \begin{bmatrix} X \\ Y \\ Z \\ 1 \end{bmatrix}$$

$$J = \sum_i \sum_j e_{ij} \quad e_{ij} = \begin{bmatrix} u_{ij}^{predict} \\ v_{ij}^{predict} \\ 1 \end{bmatrix} - \begin{bmatrix} u_{ij} \\ v_{ij} \\ 1 \end{bmatrix}$$

多组3D空间点和像素点：需要一一对应。

- 棋盘格——传统计算机视觉对于角点检测精度高



$$\begin{bmatrix} u \\ v \\ 1 \end{bmatrix} = H \begin{bmatrix} R & t \\ 0 & 1 \end{bmatrix} T_{camera}^{chessboard} \begin{bmatrix} X \\ Y \\ Z \\ 1 \end{bmatrix}_{chessboard}$$

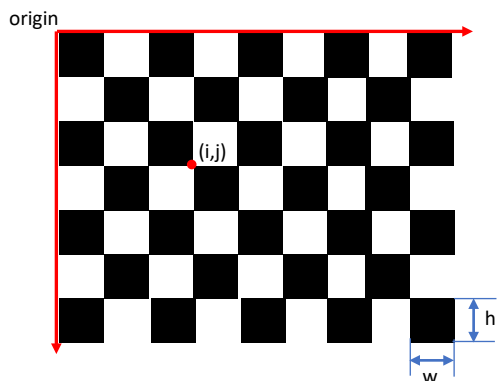
一张棋盘格成像可以建立多组对应关系



# 将Camera内参标定问题转化为非线性优化问题

已知  $\begin{bmatrix} u \\ v \\ 1 \end{bmatrix} = H \begin{bmatrix} R & t \\ 0 & 1 \end{bmatrix} \begin{bmatrix} X \\ Y \\ Z \\ 1 \end{bmatrix}$ , 求  $f, \alpha, \beta, c_x, c_y, k_1, k_2, k_3, p_1, p_2$ 。

## 1. 棋盘格



2. 对第  $k$  张图片，以棋盘格的原点为基准可定位每一个角点，并满足投影关系如下，找到足够多的对应点：

$$\begin{bmatrix} X_{ij} \\ Y_{ij} \\ Z_{ij} \end{bmatrix} = \begin{bmatrix} X_{origin} \\ Y_{origin} \\ Z_{origin} \end{bmatrix} + \begin{bmatrix} i * h \\ j * w \\ 0 \end{bmatrix} \quad (1)$$

$$\begin{cases} \begin{bmatrix} u_{00}^{predict} \\ v_{00}^{predict} \\ 1 \end{bmatrix} = H \begin{bmatrix} R_k & t_k \\ 0 & 1 \end{bmatrix} \begin{bmatrix} X_{00} \\ Y_{00} \\ Z_{00} \\ 1 \end{bmatrix} \\ \dots \\ \begin{bmatrix} u_{ij}^{predict} \\ v_{ij}^{predict} \\ 1 \end{bmatrix} = H \begin{bmatrix} R_k & t_k \\ 0 & 1 \end{bmatrix} \begin{bmatrix} X_{ij} \\ Y_{ij} \\ Z_{ij} \\ 1 \end{bmatrix} \end{cases} \quad (2)$$

3. 由(1)和(2)构建优化问题，

$$J = \sum_i \sum_j e_{ij} \quad e_{ij} = \begin{bmatrix} u_{ij}^{predict} \\ v_{ij}^{predict} \\ 1 \end{bmatrix} - \begin{bmatrix} u_{ij} \\ v_{ij} \\ 1 \end{bmatrix}$$

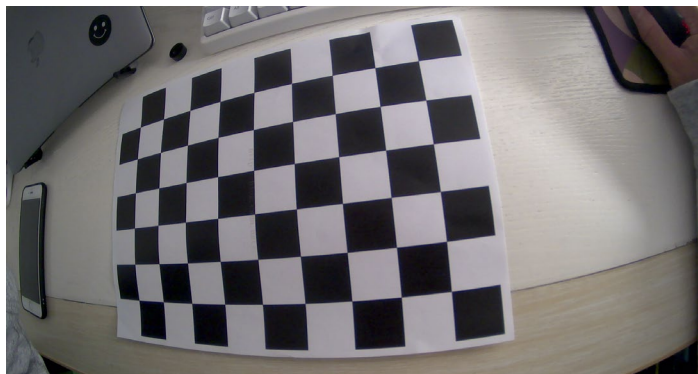
用高斯牛顿法或LM（Levenberg-Marquardt）算法计算出如下参数：

$$\begin{cases} f, \alpha, \beta, c_x, c_y \\ k_1, k_2, k_3, p_1, p_2 \\ R, t \end{cases}$$

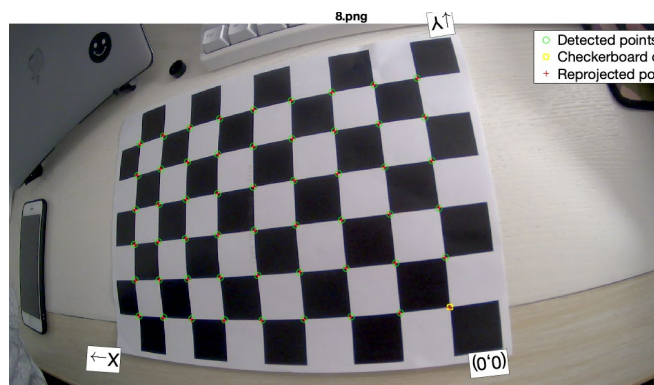




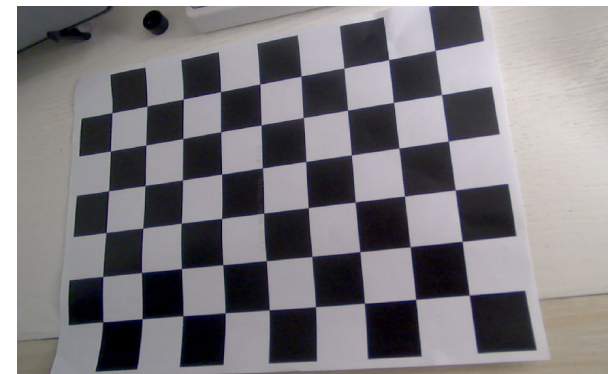
# Camera内参标定案例



原始图



特征点图



更新内参&去畸变图

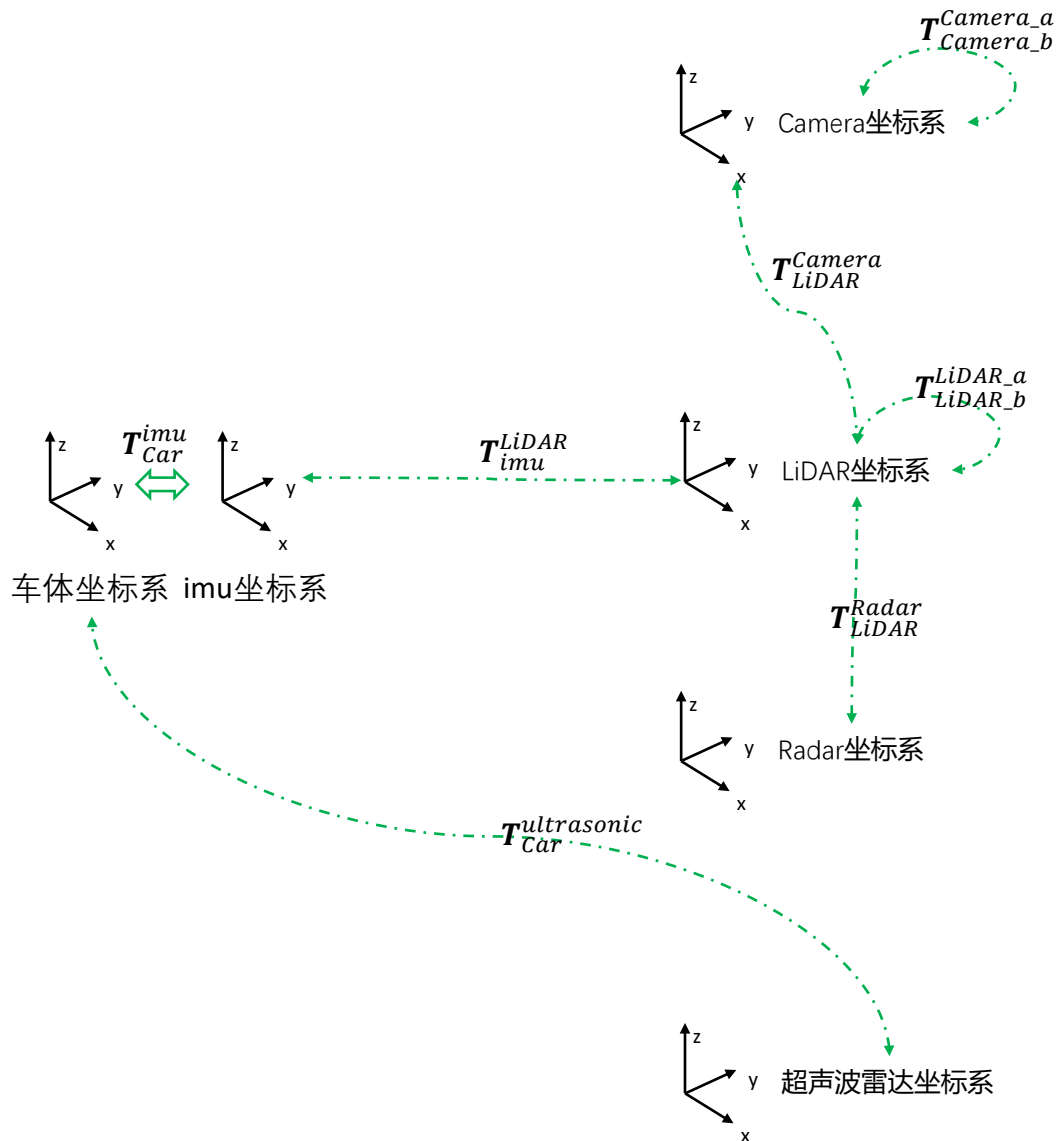


## 本章内容

1. 关于标定：传感器内参及外参的介绍
2. 非线性优化简介
3. Camera内参标定
4. 多传感器系统外参标定
5. 外参的在线动态修正



# 外参标定问题全集



$$T_{Car}^{LiDAR} = T_{Car}^{imu} T_{imu}^{LiDAR}$$

$$T_{Car}^{Camera} = T_{Car}^{LiDAR} T_{LiDAR}^{Camera}$$

$$T_{Car}^{Radar} = T_{Car}^{LiDAR} T_{LiDAR}^{Radar}$$

$$T_{Car}^{ultrasonic}$$

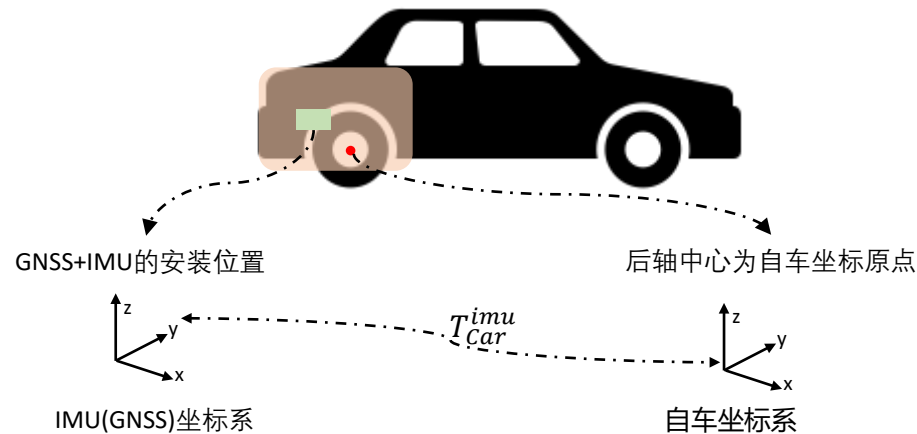
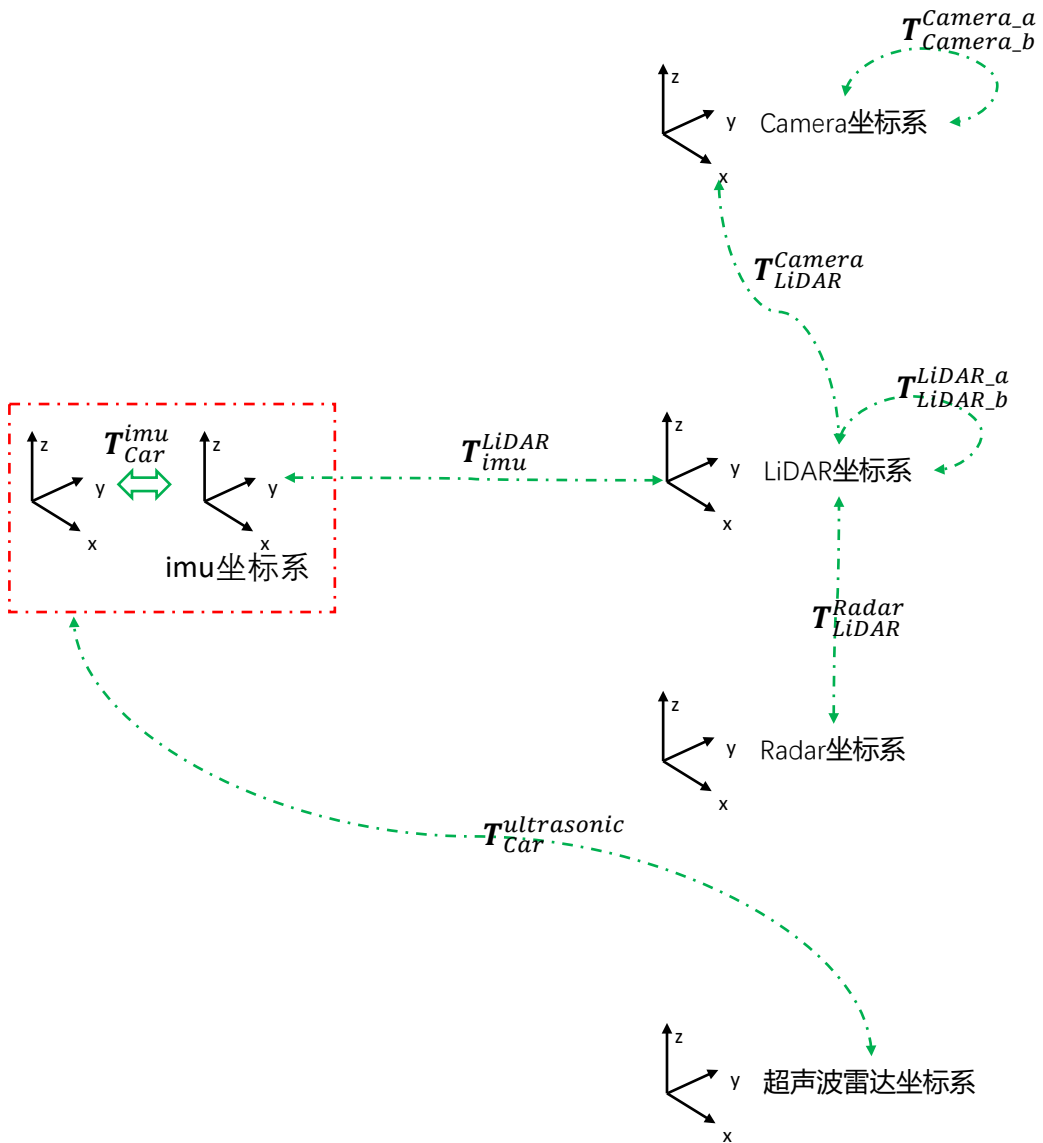
$T_{World}^{Car}$  由定位获取

• 需要解决的外参问题包括：

1. IMU(GNSS) – Car
2. LiDAR – Camera
3. Camera – Camera
4. LiDAR – LiDAR
5. LiDAR – IMU(GNSS)
6. LiDAR – Radar
7. 超声波雷达 – Car



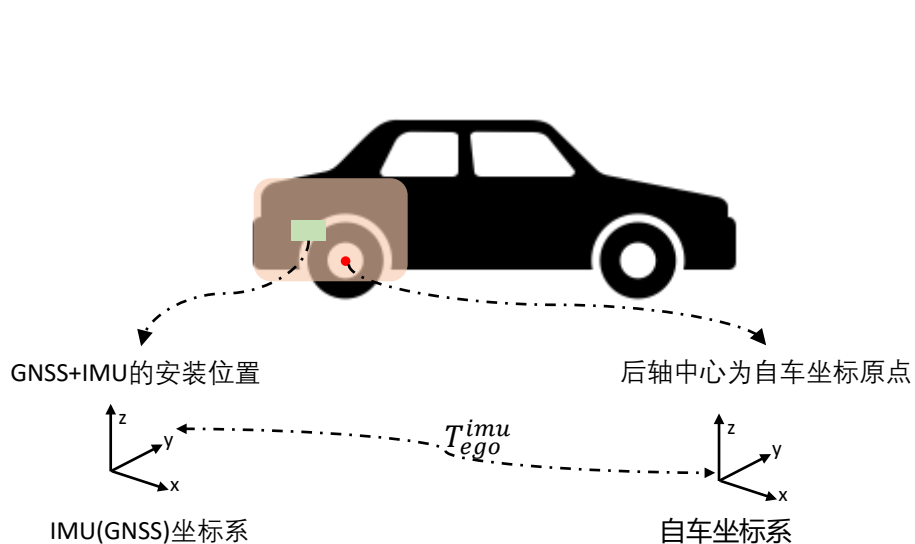
# 外参1: IMU(GNSS)和车体坐标系



$$\begin{matrix} \text{IMU} \end{matrix} \left\{ \begin{matrix} timestamp \\ roll\_rate \\ pitch\_rate \\ yaw\_rate \\ lateral\_acc \\ longitudinal\_acc \\ vertical\_acc \\ \dots \end{matrix} \right. + \text{GNSS} \left\{ \begin{matrix} gps\_time \\ longitude \\ latitude \\ altitude \\ \dots \end{matrix} \right. = \text{GNSS+IMU} \left\{ \begin{matrix} gps\_time \\ longitude \\ latitude \\ altitude \\ roll \\ pitch \\ yaw \\ velocity\_north \\ velocity\_east \\ velocity\_upward \\ acc\_x \\ acc\_y \\ acc\_z \\ \dots \end{matrix} \right.$$

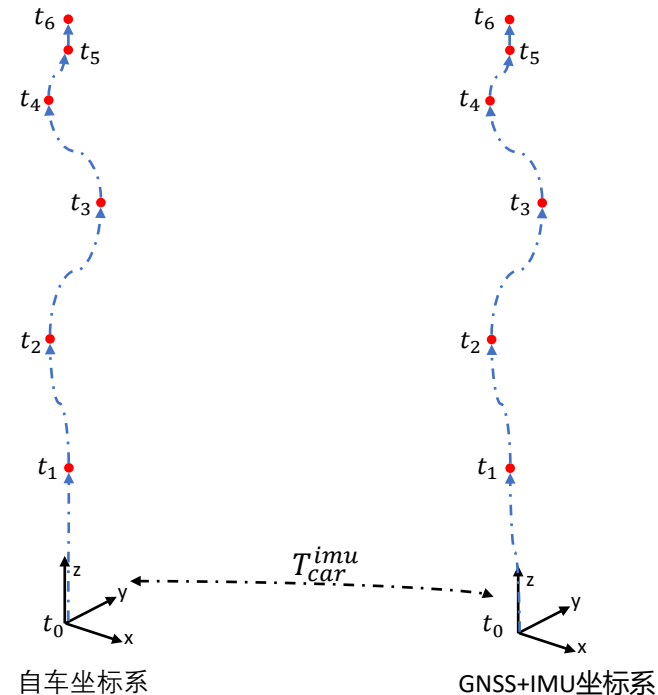
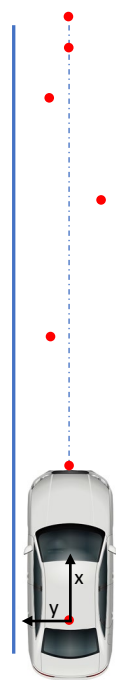


# 外参1: IMU(GNSS)和车体坐标系



假设:

- 获取自车运动的位姿序列
- 通过GNSS+IMU设备观测自车运动

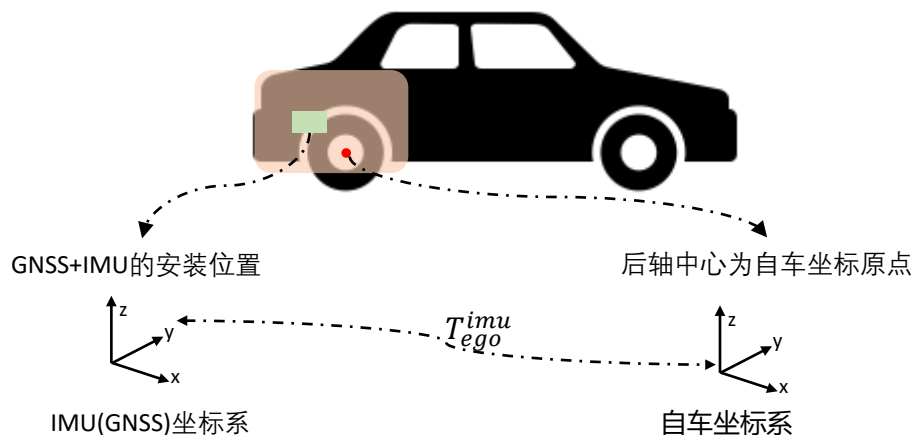


$$\begin{cases} T_{car}^{01} = T_{car}^{imu} T_{imu}^{01} \\ \dots \\ T_{car}^{0i} = T_{car}^{imu} T_{imu}^{0i} \end{cases}$$

$$J = \sum_i (I - T_{car}^{0i}{}^T T_{car}^{imu} T_{imu}^{0i})$$



# 外参1: IMU(GNSS)和车体坐标系



约束:

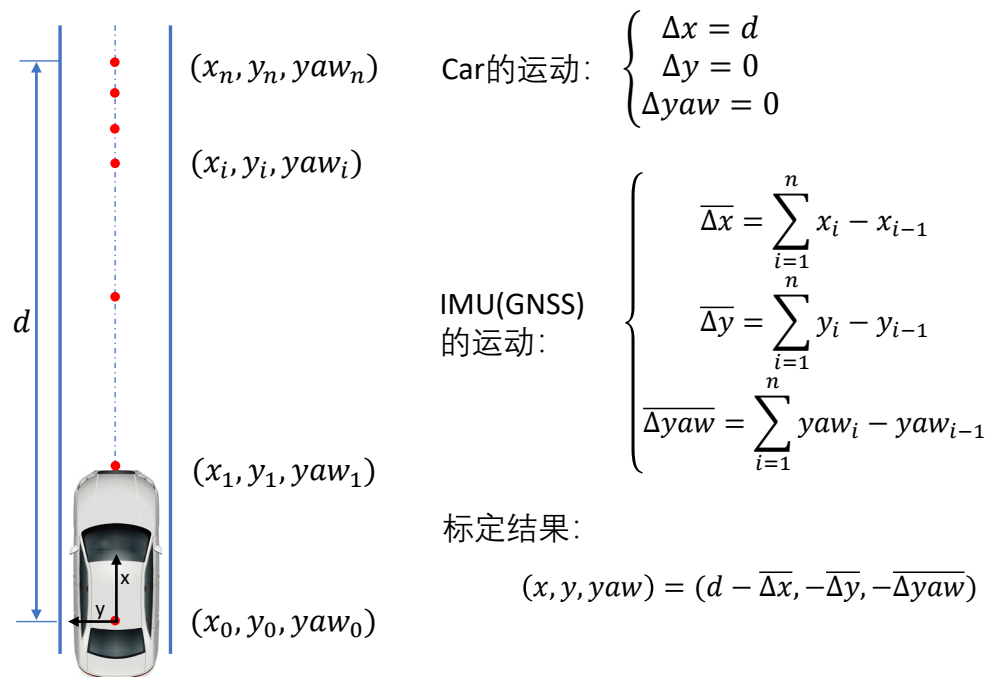
- GNSS+IMU设备观测的位姿序列可以达到cm级别
- 6自由度的自车运动很难精确获得

解决方案:

- 优先关注3个自由度:  $(x, y, yaw)$
- $z$ 通过测量得到

设计测试路段:

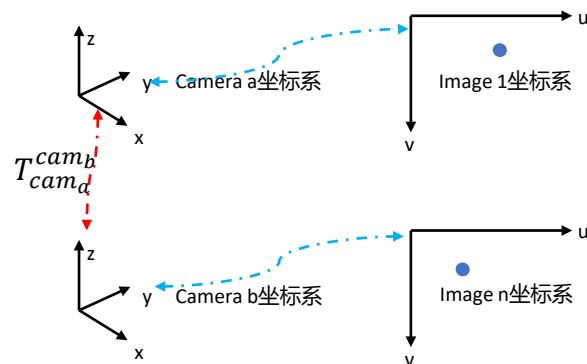
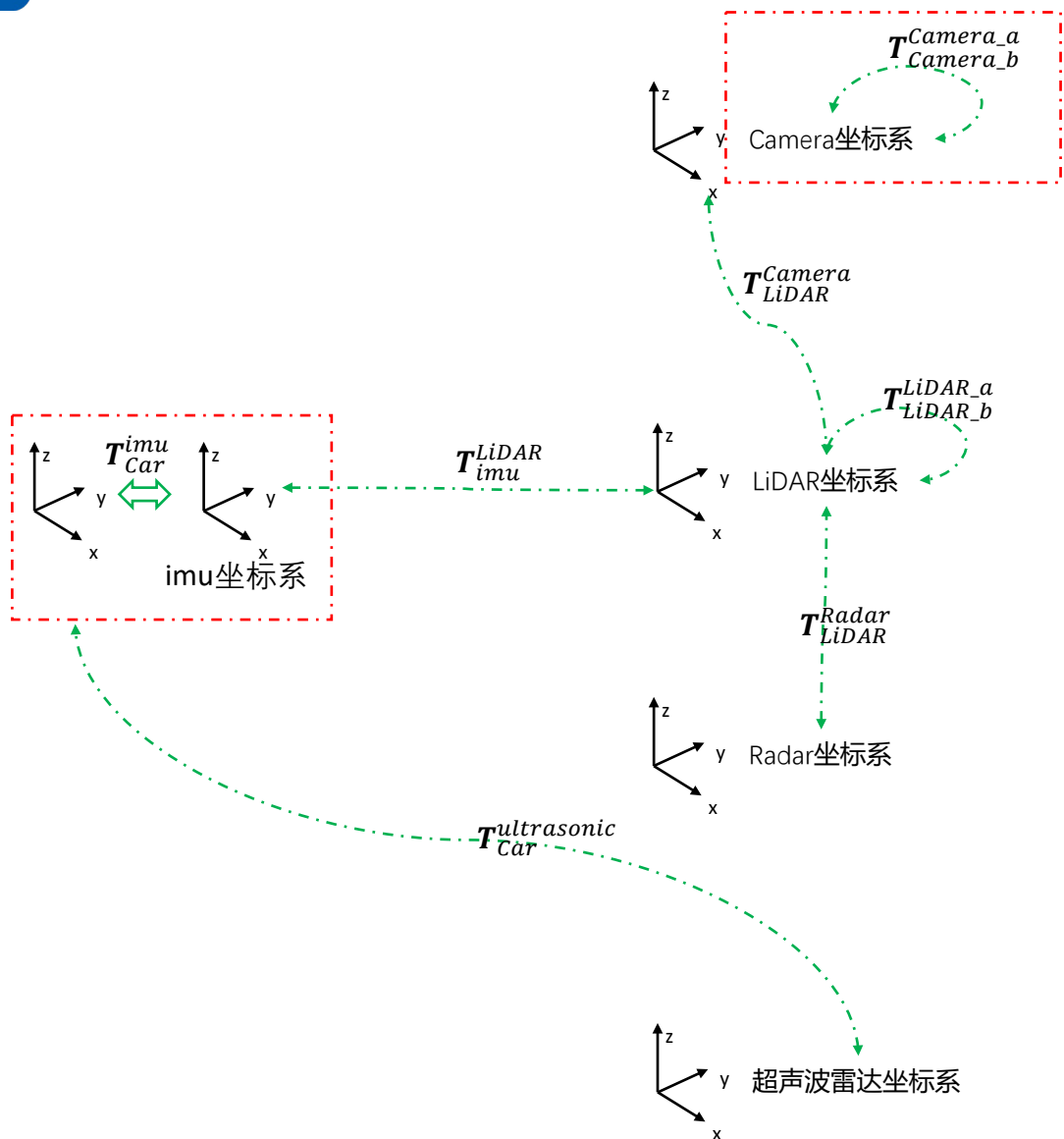
- 严格直道 (可通过激光笔测试), 距离为  $d$
- 车辆尽量严格按直线行驶



$$T_{car}^{imu} = [x, y, z, 0, 0, yaw]$$



## 外参2: Camera与Camera之间的标定



$$p_{cam_a} = \begin{bmatrix} x_{cam_a} \\ y_{cam_a} \\ z_{cam_a} \\ 1 \end{bmatrix}$$

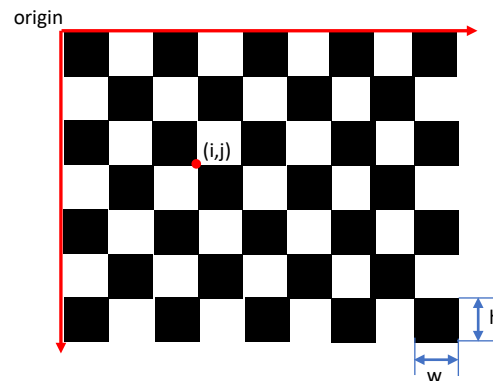
•  $p$

$$p_{cam_b} = \begin{bmatrix} x_{cam_b} \\ y_{cam_b} \\ z_{cam_b} \\ 1 \end{bmatrix}$$

- 如果能通过图像还原该点的3D位置，下式成立：

$$p_{cam_a} = T_{cam_a}^{cam_b} p_{cam_b}$$

- 是否可以通过图片还原该点的3D位置呢？



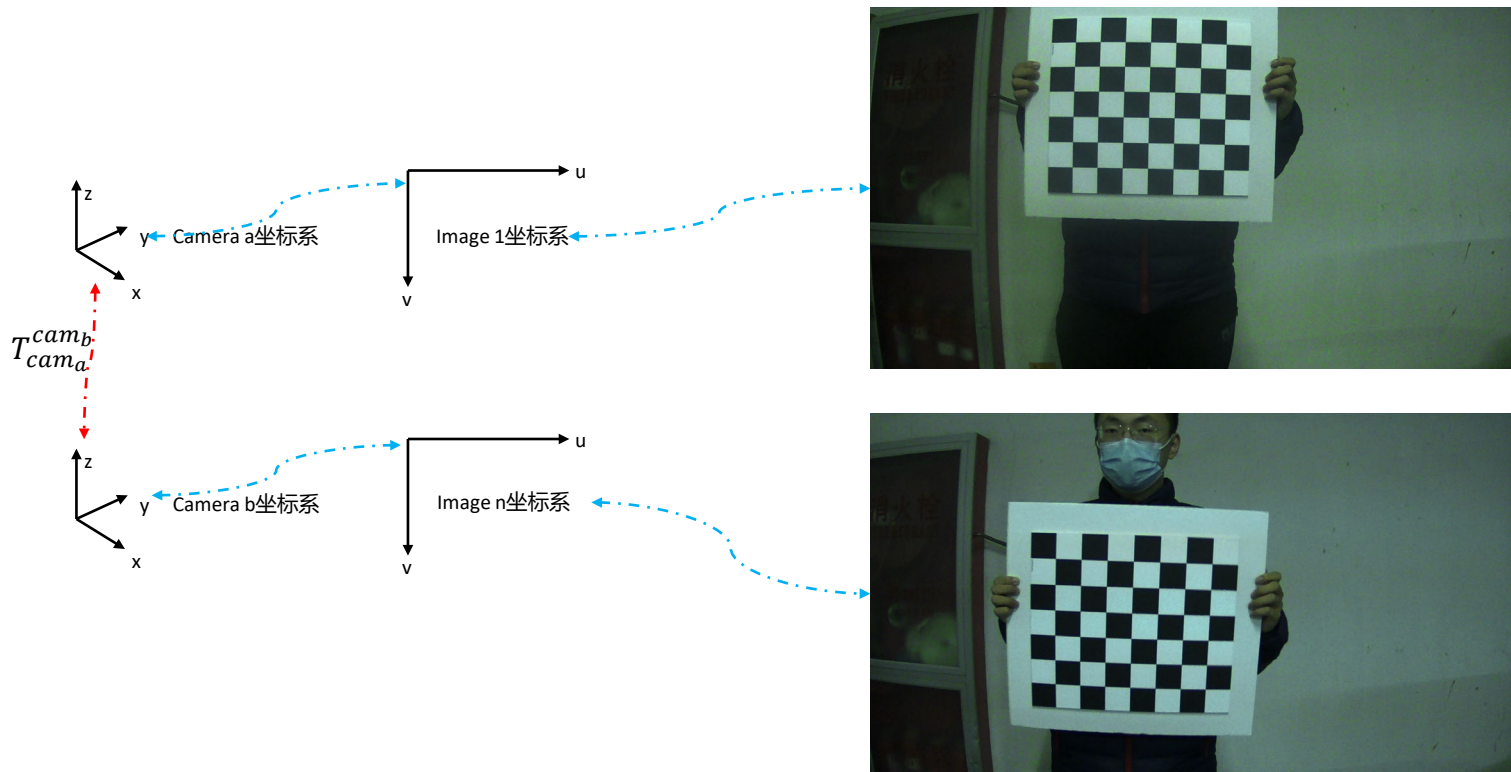
- 在内参已知的情况下，可求出

$$\begin{bmatrix} u \\ v \\ 1 \end{bmatrix} = H \begin{bmatrix} R & t \\ 0 & 1 \end{bmatrix} T_{camera}^{chessboard} \begin{bmatrix} X \\ Y \\ Z \\ 1 \end{bmatrix}_{chessboard}$$

$T_{camera}^{car}$  相机坐标系下的位置



## 外参2: Camera与Camera之间的标定



要求: Camera与Camera之间有视野重叠

- 对于棋盘格上每一个角点, 下式成立

*PnP*问题[1]

$$\begin{bmatrix} u \\ v \\ 1 \end{bmatrix} = H T_{camera}^{chessboard} \begin{bmatrix} X \\ Y \\ Z \\ 1 \end{bmatrix}_{chessboard}$$

其中  $H$  为已知内参矩阵,  $[x \ y \ z]$  为棋盘格坐标系下的坐标

- 构建以下优化问题, 可求得  $T_{camera}^{chessboard}$

$$J = \sum_i \sum_j e_{ij} \quad e_{ij} = \begin{bmatrix} u_{ij}^{predict} \\ v_{ij}^{predict} \\ 1 \end{bmatrix} - \begin{bmatrix} u_{ij} \\ v_{ij} \\ 1 \end{bmatrix}$$

- 多相机坐标系下, 同一个3D点, 满足以下转换关系

$$p_{cam_a} = T_{cam_a}^{cam_b} p_{cam_b}$$

- 根据上式, 通过多帧成像结果可以构建目标函数

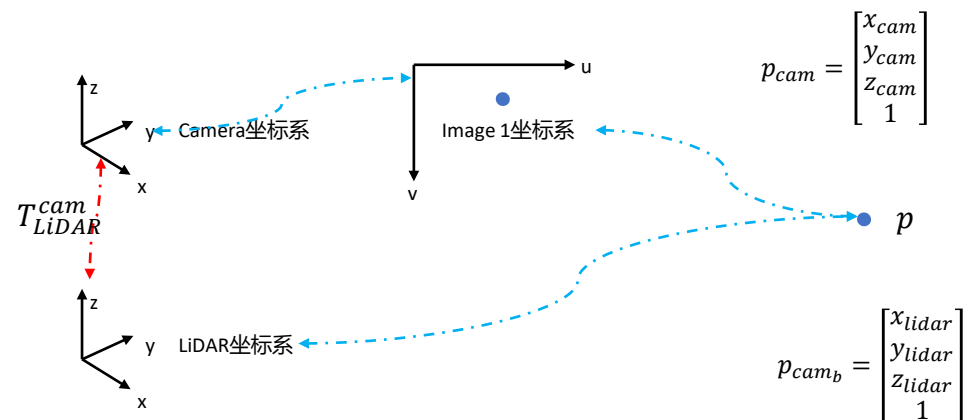
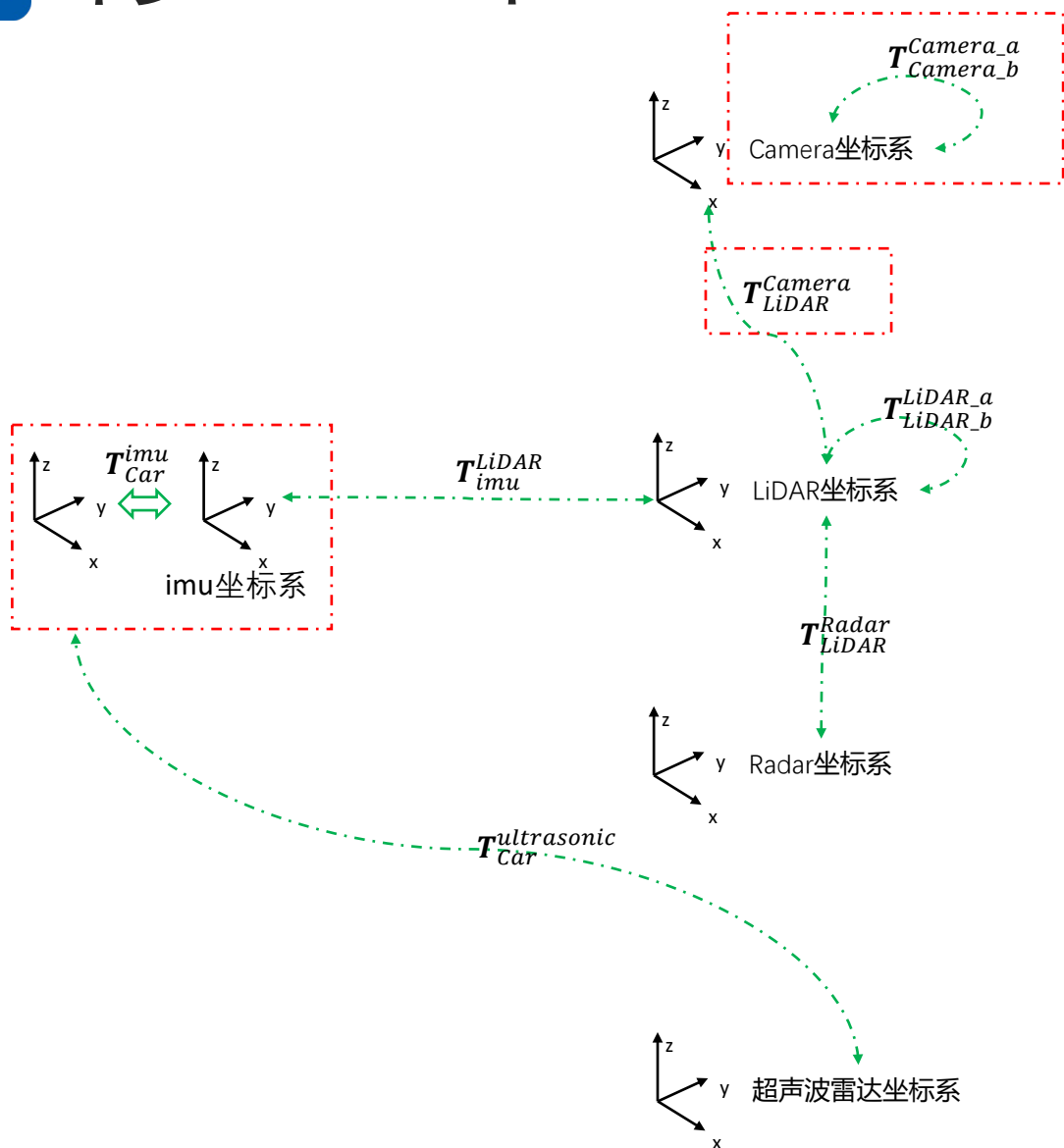
$$J = \sum_j \sum_i \|p_{cam_a}^i - T_{cam_a}^{cam_b} p_{cam_b}^i\|_2^2$$

通过高斯牛顿法或者LM算法, 可求得  $T_{cam_a}^{cam_b}$





## 外参3: LiDAR和Camera

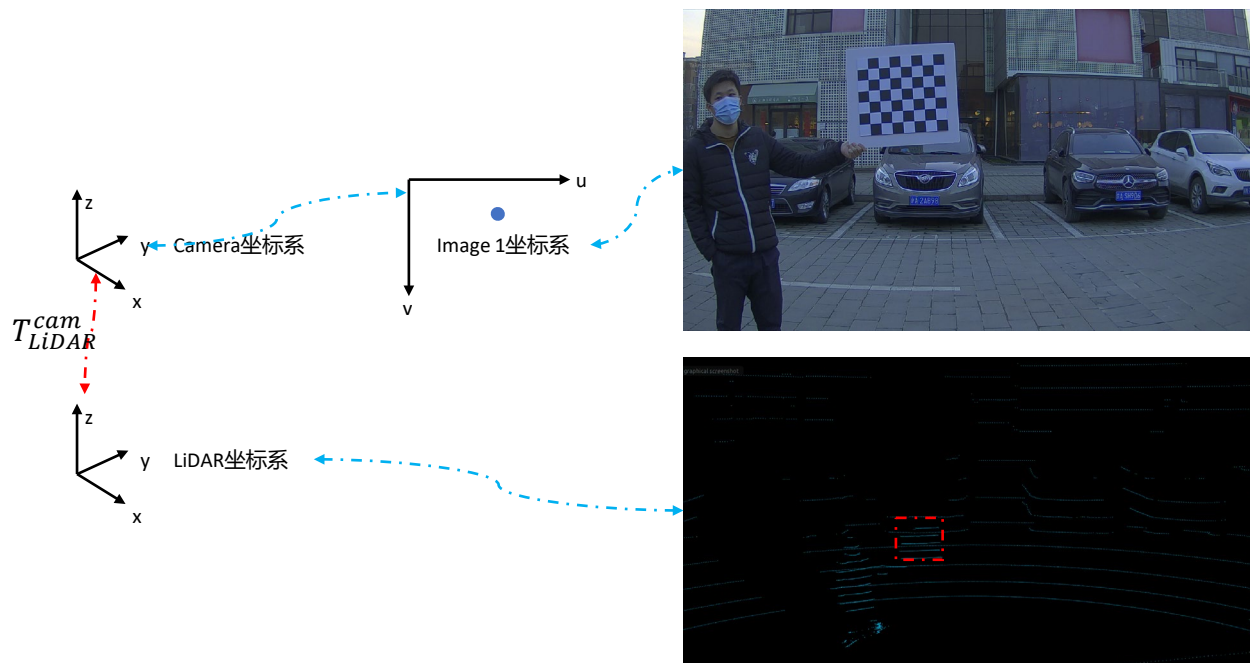


- 通过PnP可还原 $p_{cam}$ 的3D位置, 则:

$$p_{LiDAR} = T_{LiDAR}^{cam} p_{cam}$$



## 外参3: LiDAR和Camera



要求: LiDAR与Camera之间有视野重叠

- 通过PnP问题求解方法, 求出标定板中角点的3D位置

$$\{p_{cam}^0, p_{cam}^1, \dots, p_{cam}^i\}$$

- 按照标定板的尺寸, 在点云中定位标定板的成像结果, 按角点尺寸和强度特征, 求取角点位置:

$$\{p_{lidar}^0, p_{lidar}^1, \dots, p_{lidar}^i\}$$

- 同一个3D点, 满足以下转换关系

$$p_{LiDAR} = T_{LiDAR}^{cam} p_{cam}$$

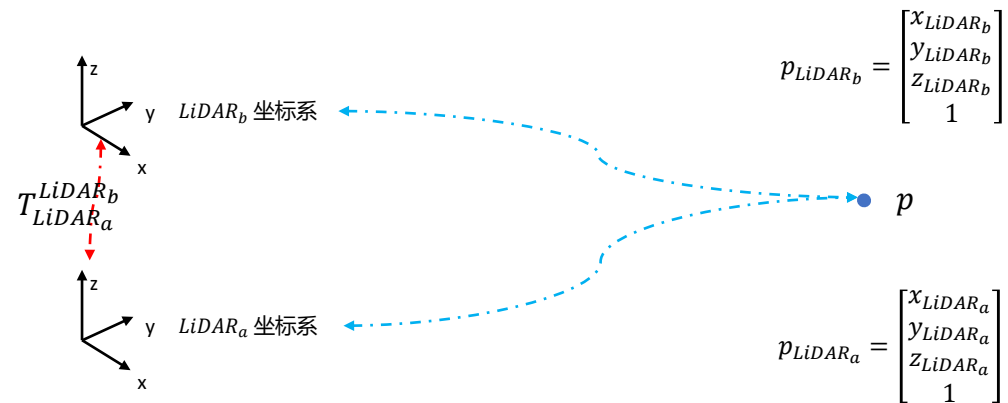
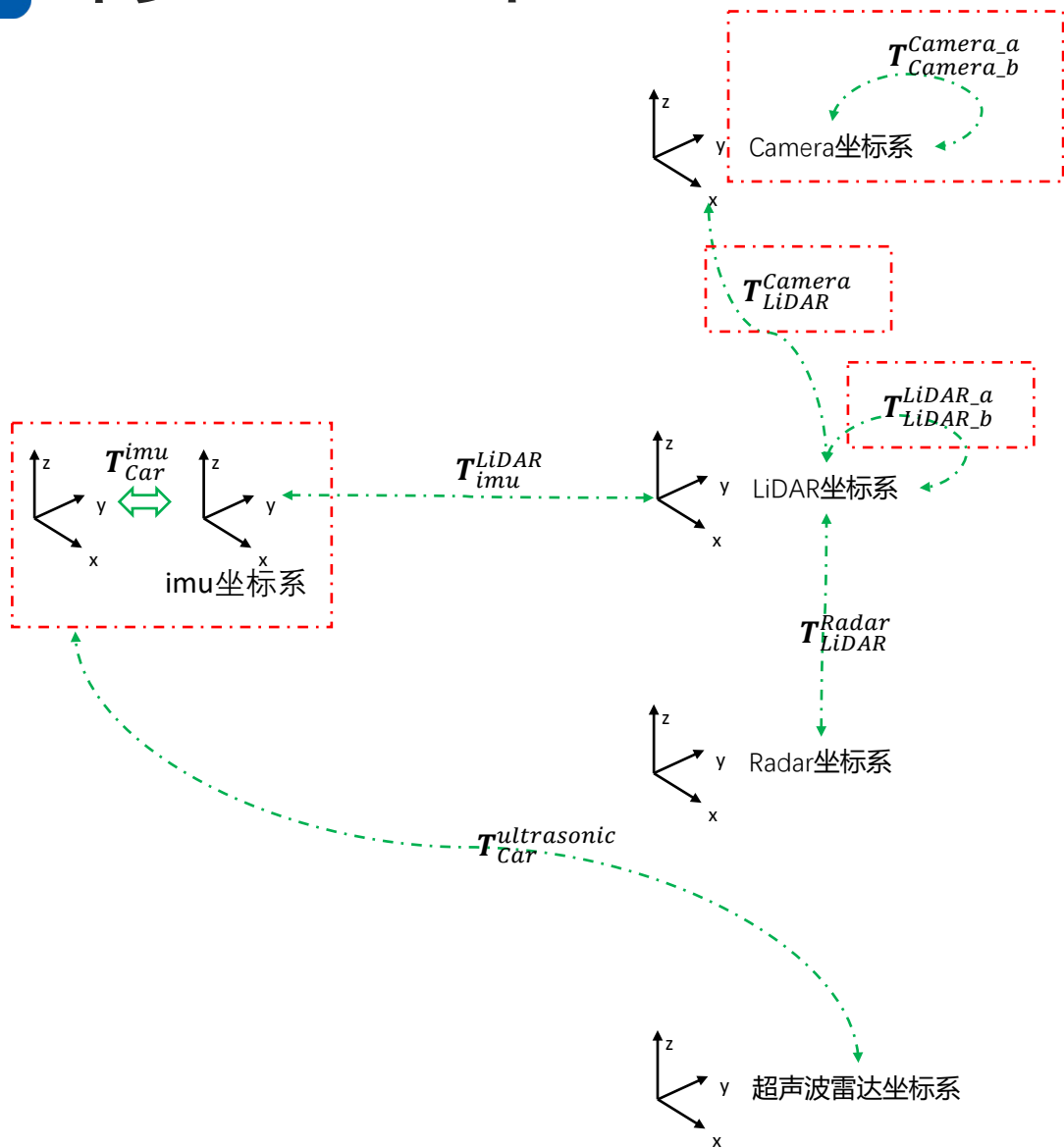
- 根据上式, 通过多帧对应成像, 可以构建目标函数

$$J = \sum_j \sum_i \|p_{LiDAR}^i - T_{LiDAR}^{cam} p_{cam}^i\|_2^2$$

通过高斯牛顿法或者LM算法, 可求得 $T_{LiDAR}^{cam}$



## 外参4: LiDAR和LiDAR



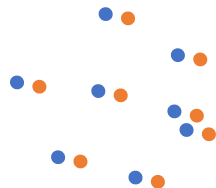
- 如果能找到两帧点云中的若干点对，则可建立如下关系：

$$p_{LiDAR_a} = T_{LiDAR_a}^{LiDAR_b} p_{LiDAR_b}$$



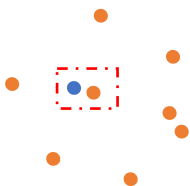
## 外参4: LiDAR和LiDAR

两帧点云分别为  $Q = \{q_1, q_2, \dots, q_m\}$ ,  $P = \{p_1, p_2, \dots, p_n\}$ :

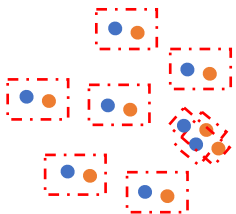


- 帧间更新频率高, 两帧之间的差异较小

对  $Q$  中的每一个点, 在  $P$  中寻找最近点:



找到  $Q$  和  $P$  中所有点对找到:



由于点对之间存在如下转换关系:

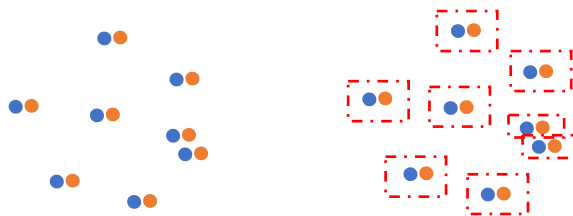
$$q_i = T_{LiDAR_a}^{LiDAR_b} p_j$$

建立优化目标函数:

$$J = \sum_i \|q_i - T_{LiDAR_a}^{LiDAR_b} p_j\|_2^2$$

通过高斯牛顿或者LM算法, 可求得  $T_{LiDAR_a}^{LiDAR_b}$ , 但**还可能**存在**错误**。

用  $T_{LiDAR_a}^{LiDAR_b}$  修正  $P$ , 重新构建点对关系

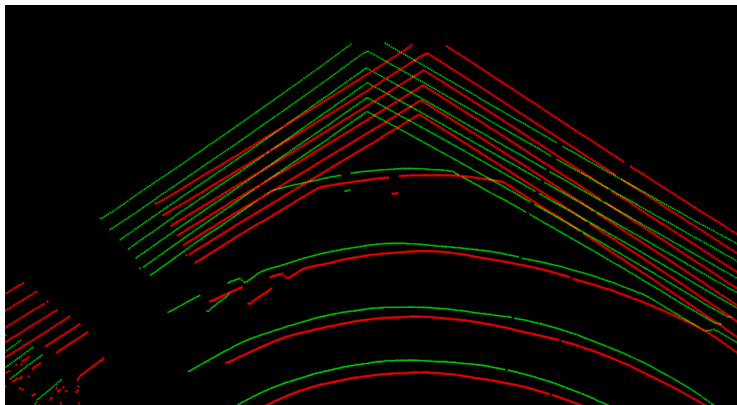


重新构建优化问题, 得到最终  $T_{LiDAR_a}^{LiDAR_b}$

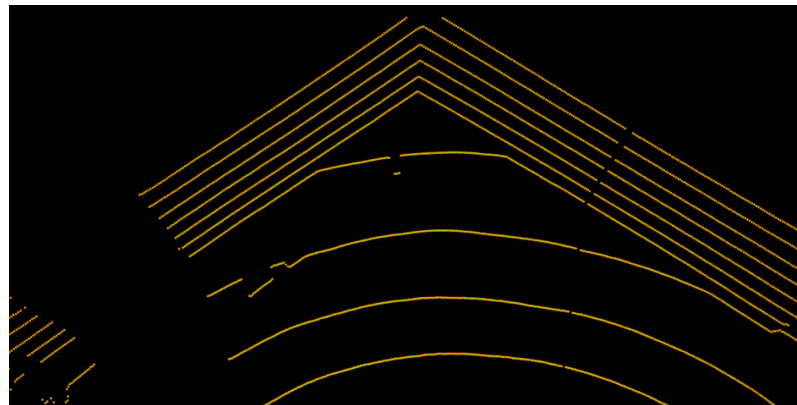
ICP(Iterative Closest Point)算法



## 外参4: LiDAR和LiDAR



- $LiDAR_a$
- $LiDAR_b$

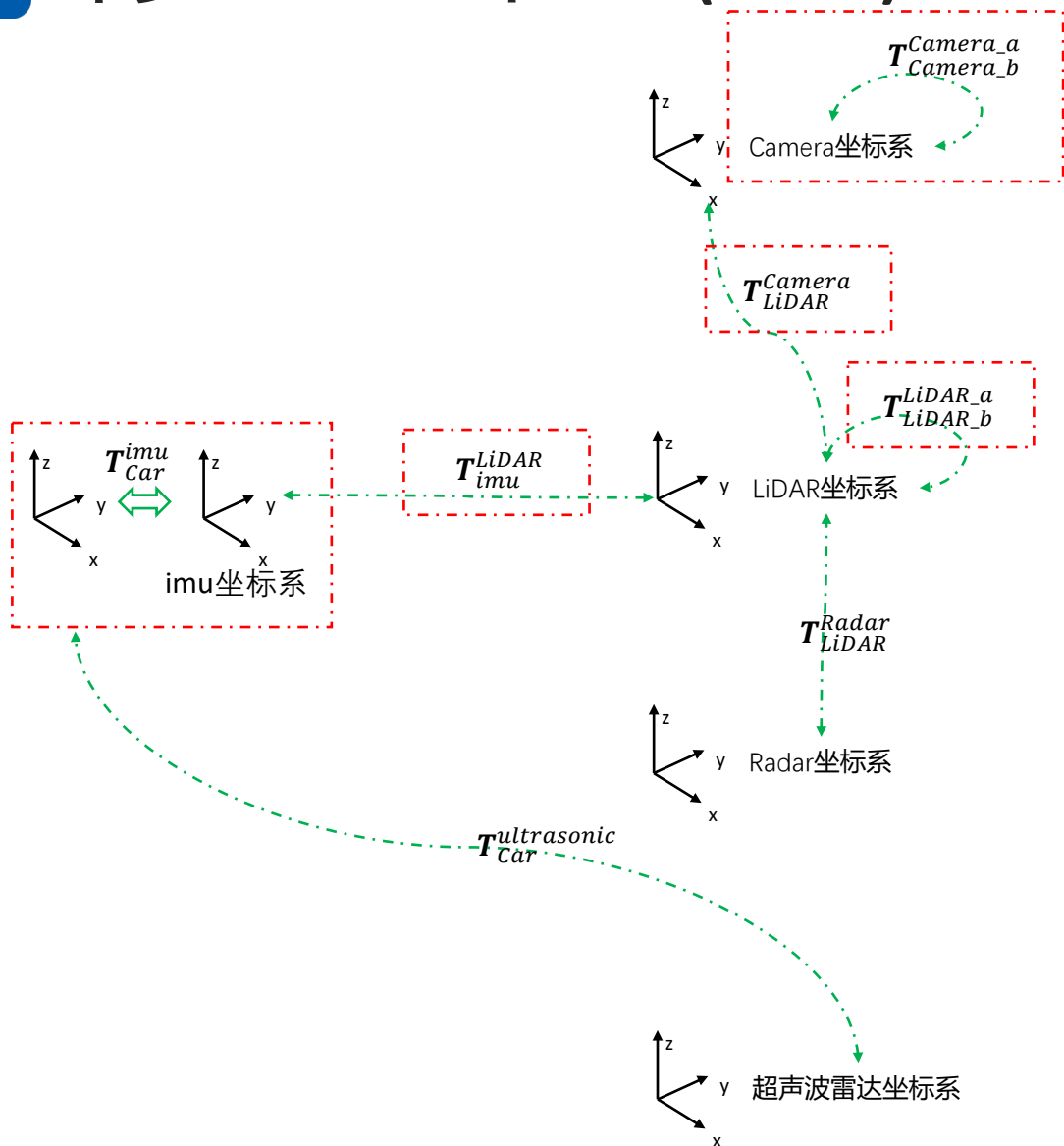


$$T = \begin{bmatrix} 0.995004 & -0.0998334 & 0 & 0.2 \\ 0.0998334 & 0.995004 & 0 & 0.1 \\ 0 & 0 & 1 & -0.1 \\ 0 & 0 & 0 & 1 \end{bmatrix}$$

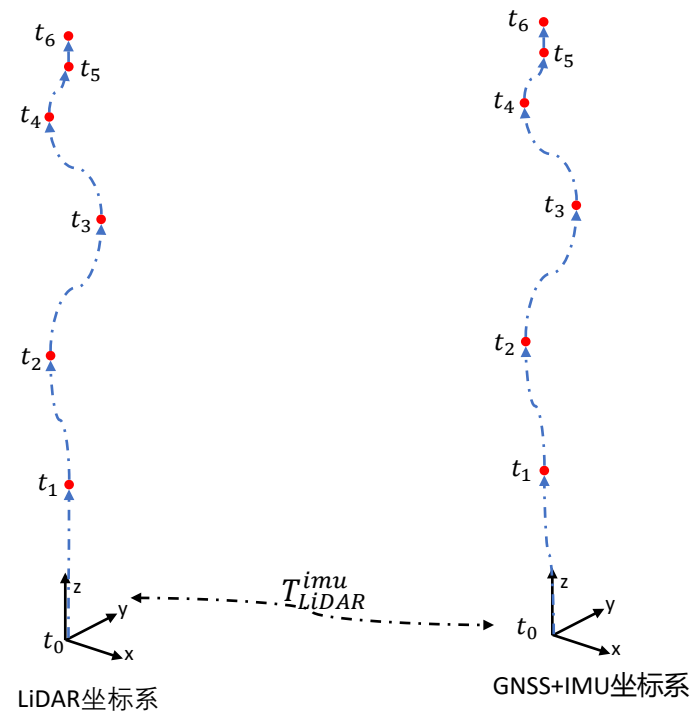
$$(roll, pitch, yaw) = (0, 0, 0.1)$$



## 外参5: LiDAR和IMU(GNSS)



- 两帧点云可以通过ICP, 获得 $T_{LiDAR_a}^{LiDAR_b}$
- IMU+GNSS可以连续观测到位姿变化
- 同一个LiDAR, 会高频的连续生成点云





# 基于GNSS+IMU的运动标定

IMU+GNSS生成的位姿序列:  $T_{imu}^{I_0}, T_{imu}^{I_1}, T_{imu}^{I_2}, \dots, T_{imu}^{I_n}$

LiDAR生成的位姿序列:  $T_{LiDAR}^{L_0}, T_{LiDAR}^{L_1}, T_{LiDAR}^{L_2}, \dots, T_{LiDAR}^{L_n}$

计算外参矩阵  $T_{imu}^{LiDAR}$ 。

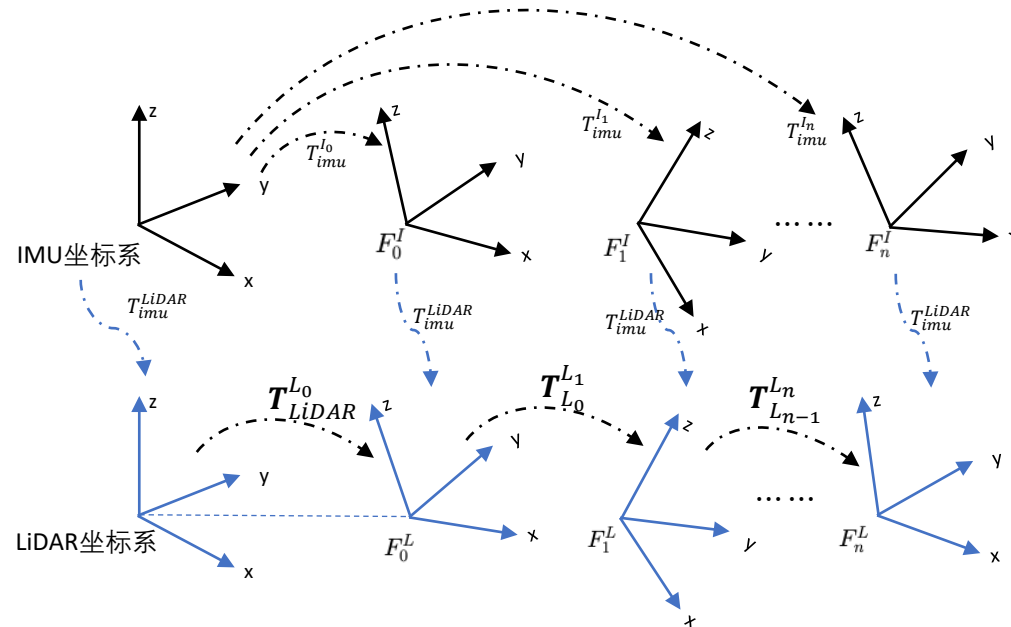
对于每一个时刻, 都存在如下的对应关系:

$$\begin{aligned} T_{imu}^{I_i} &= T_{imu}^{LiDAR} T_{LiDAR}^{L_0} T_{LiDAR}^{L_1} \dots T_{LiDAR}^{L_i} \\ &= T_{imu}^{LiDAR} T_{LiDAR}^{L_i} \end{aligned}$$

上式, 通过将R表达成李代数形式, 构建非线性优化问题:

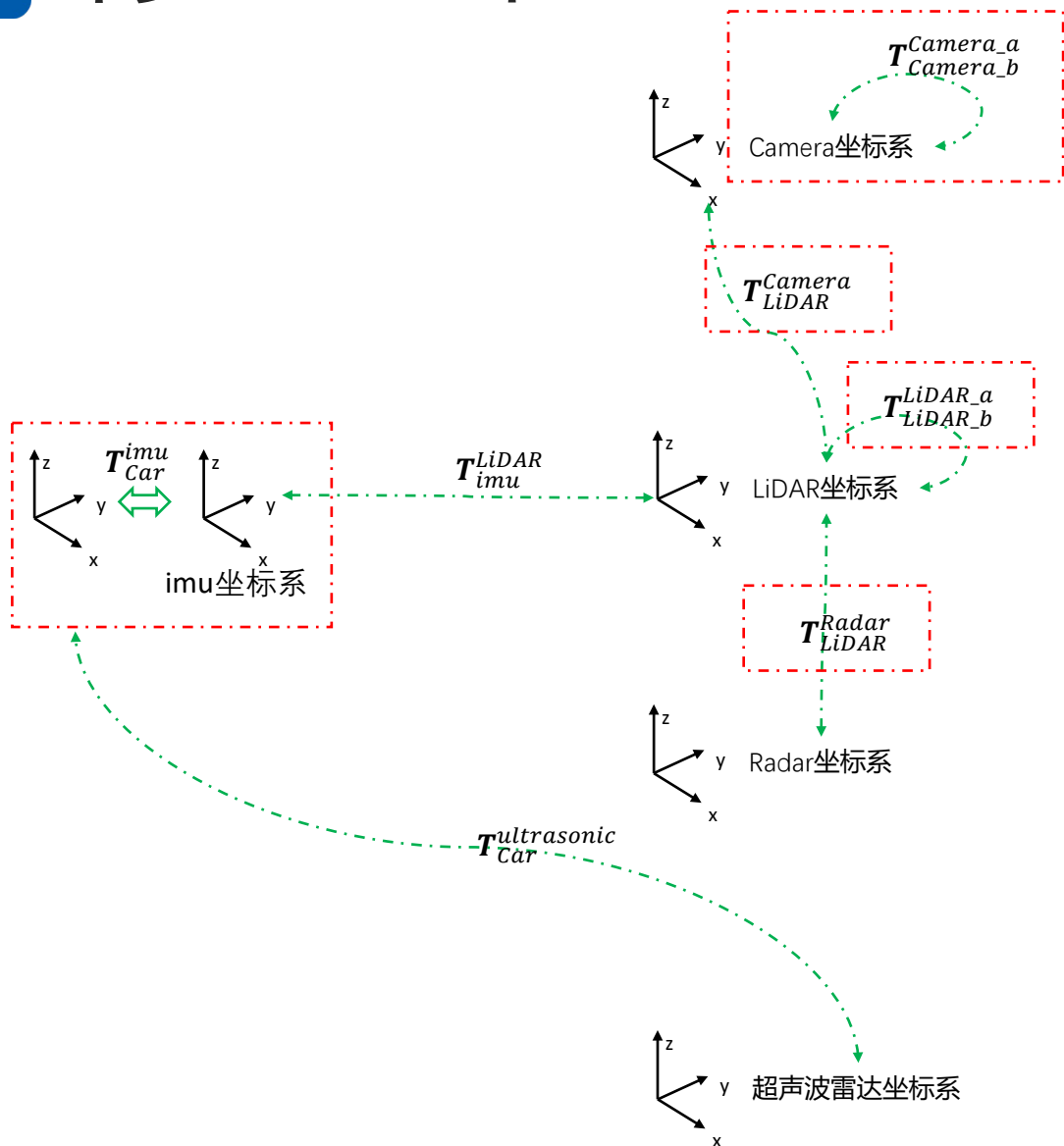
$$J = \sum_i (I - T_{imu}^{I_i} T_{imu}^{LiDAR} T_{LiDAR}^{L_i})$$

利用高斯牛顿或LM算法, 可以求解  $T_{imu}^{LiDAR}$

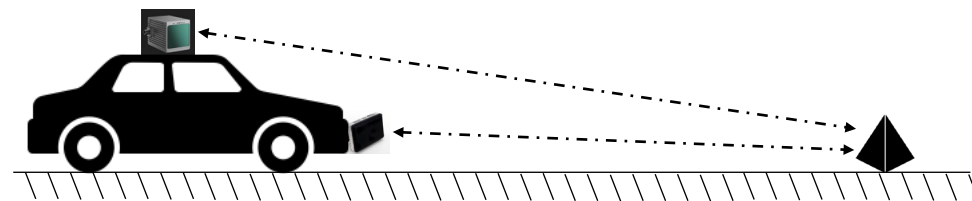




## 外参6: LiDAR和Radar



- Radar检测的目标无高度信息, 仅含极坐标信息, 因此标定主要关注 $(x, y, yaw)$ ;
- 标定策略: 将金属三角锥 (检测目标) 放置于自车正前方。



$$P_{LiDAR} = (x, y, z)$$

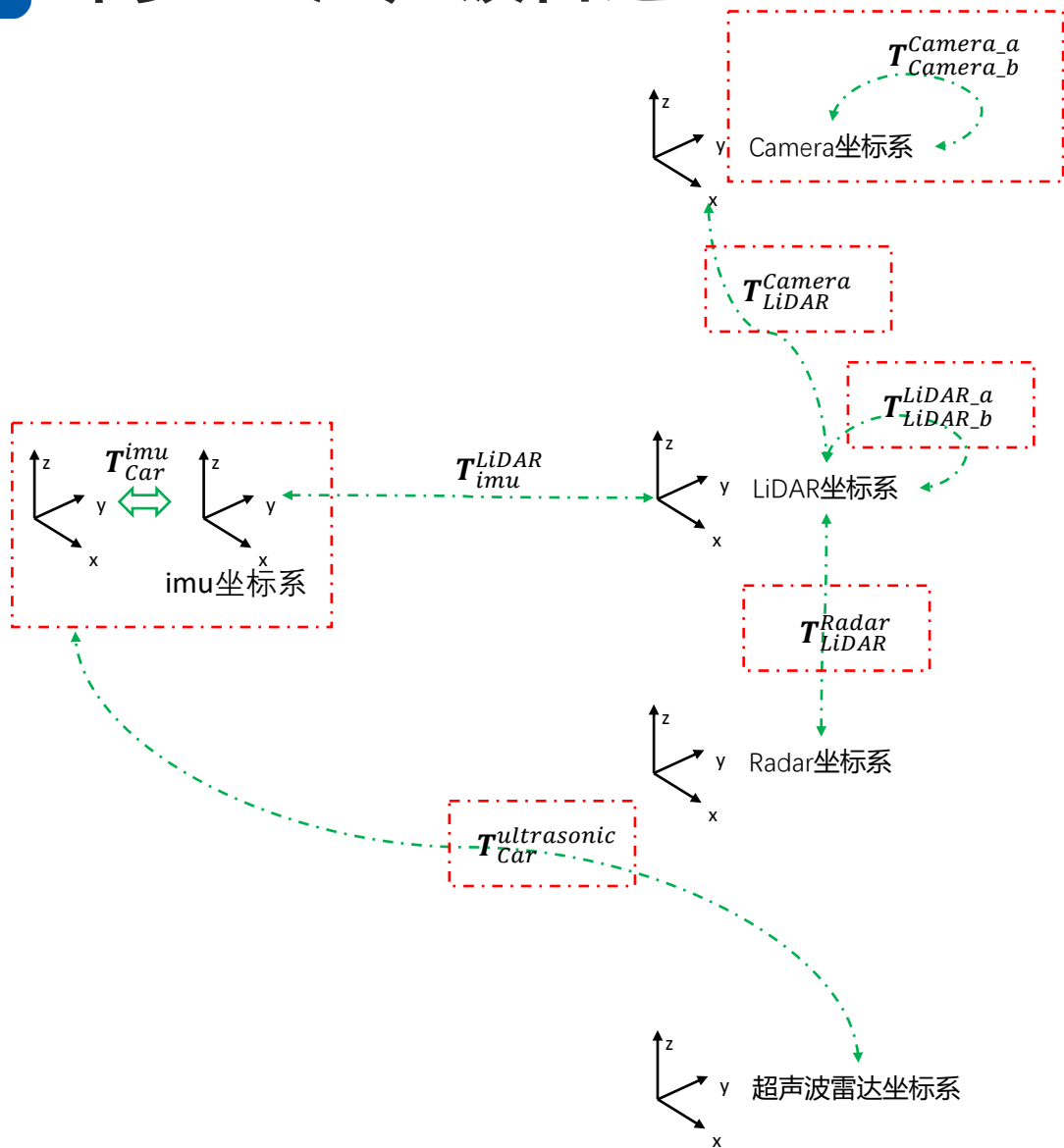
$$P_{radar} = (r, \theta)$$

$$(\Delta x, \Delta y, \Delta yaw) = (x - r \cos \theta, y - r \sin \theta, \tanh^{-1} \frac{y}{x} - \theta)$$





## 外参7：超声波雷达



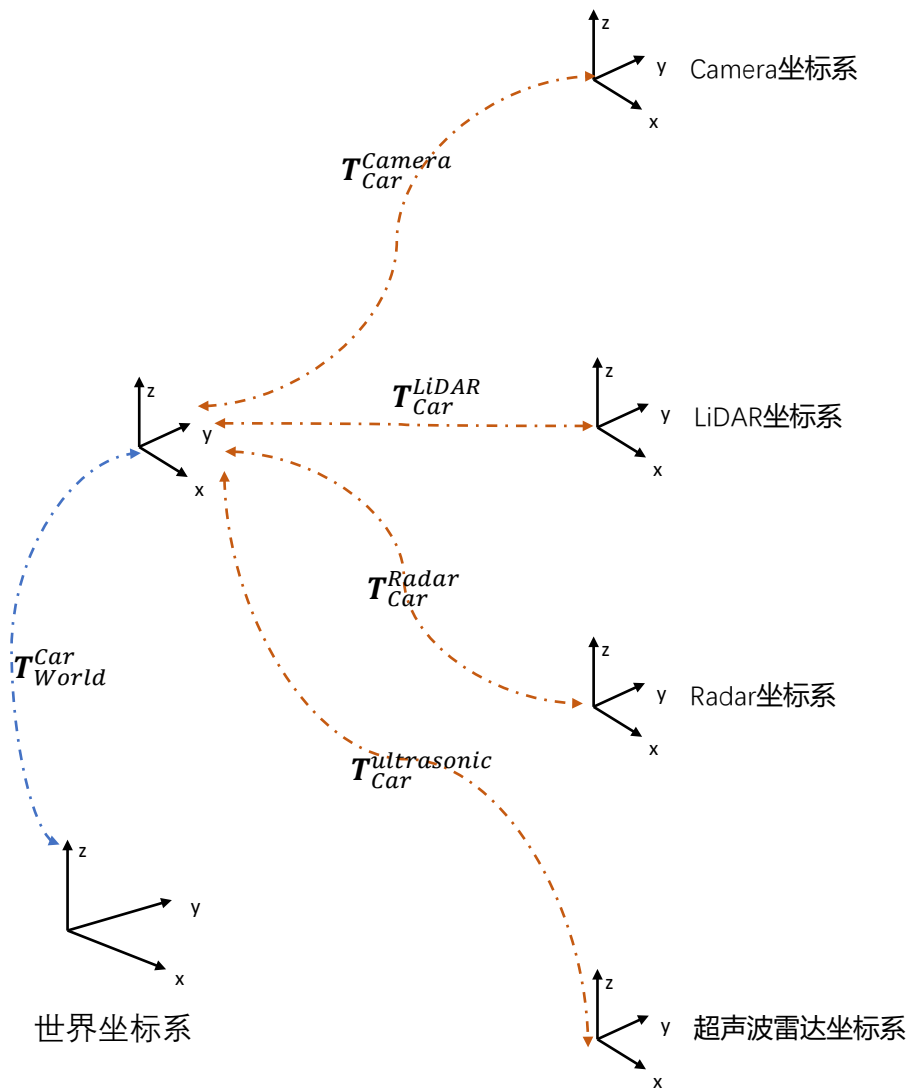
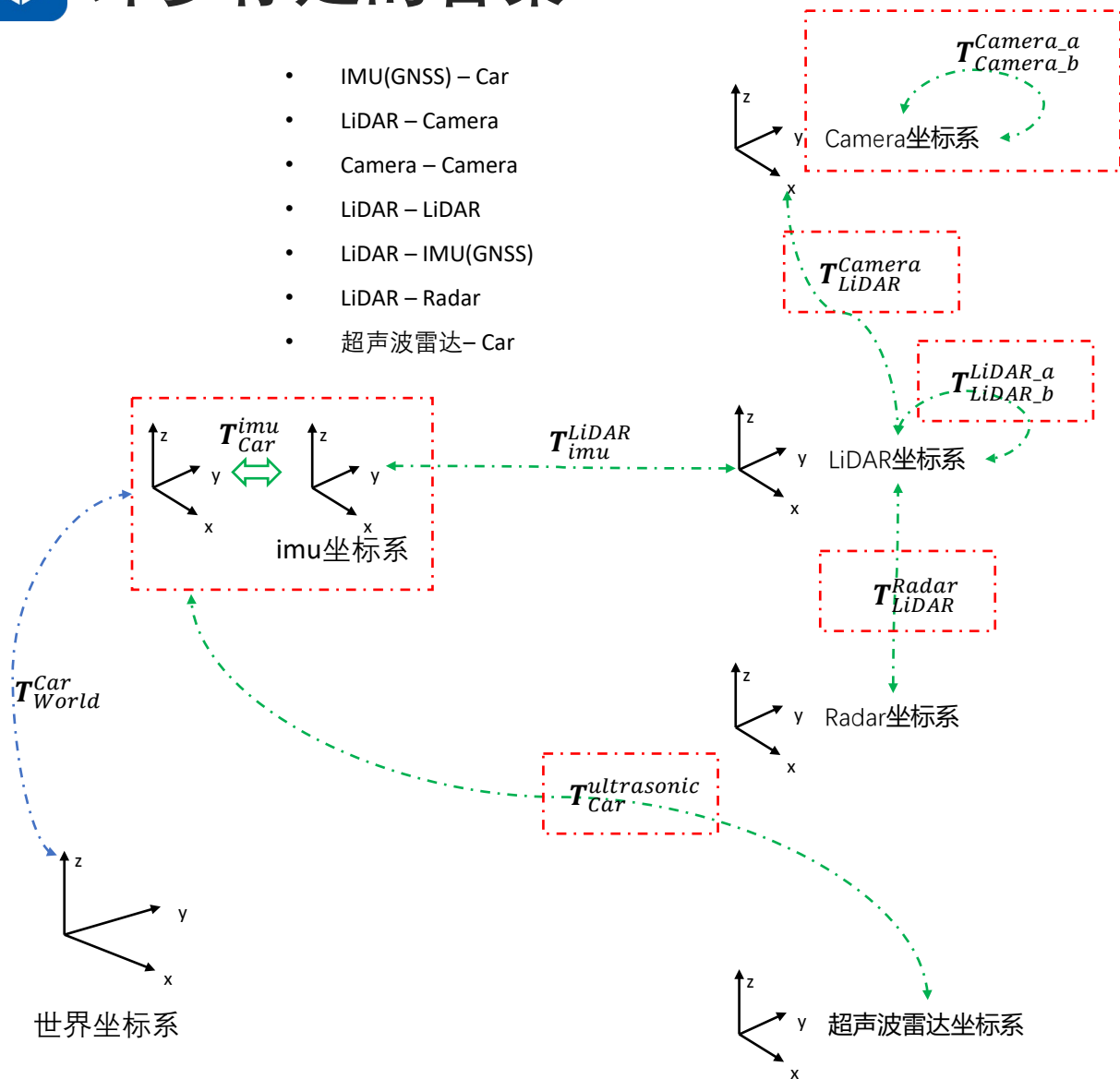
- 超声波感知距离以及角度分辨率都不高，因此安装时测量安装位置即可，无需标定。

$T_{ultrasonic\ Car}$



# 外参标定的答案

- IMU(GNSS) – Car
- LiDAR – Camera
- Camera – Camera
- LiDAR – LiDAR
- LiDAR – IMU(GNSS)
- LiDAR – Radar
- 超声波雷达– Car





## 本章内容

1. 关于标定：传感器内参及外参的介绍
2. 非线性优化简介
3. Camera内参标定
4. 多传感器系统外参标定
5. 外参的在线动态修正



# 外参的在线动态修正

## 什么是在线标定？

在车辆运行期间，动态修正传感器之间的相对位姿参数。与离线标定不同，在线标定不能摆场景（如标定板），因此难度更大。

## 为什么离线标好了，还需要在线标定？

在车辆运行期间，传感器的安装位置因为振动或者外力碰撞会发生变化。

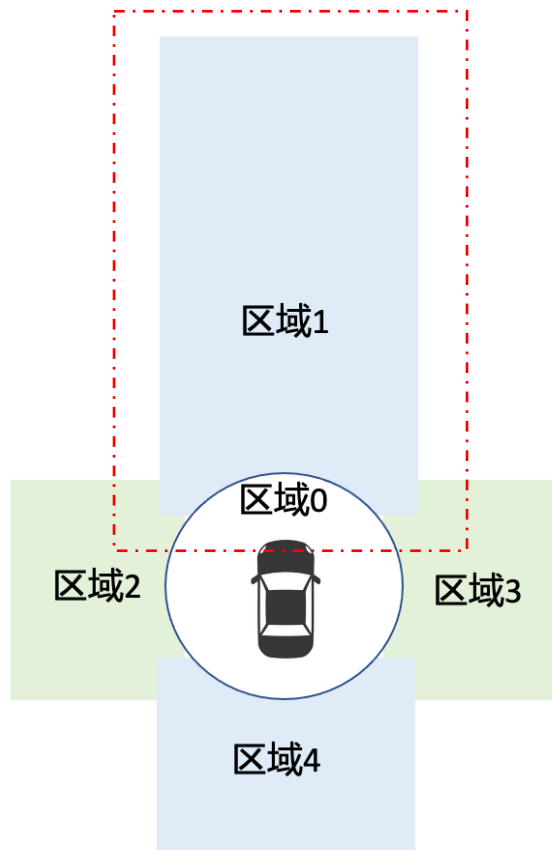
## 如何实现在线标定？

核心考虑前视区域，从传感器数据的丰富程度上，在线标定包括

LiDAR和Camera。

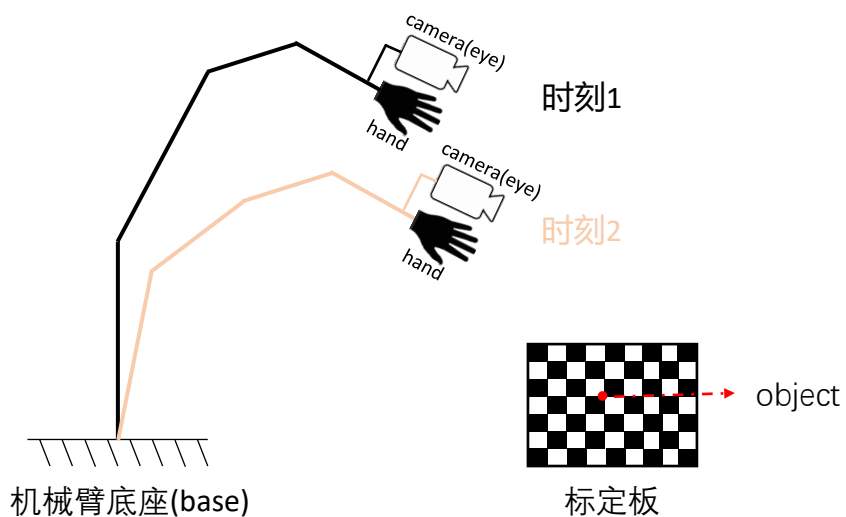
实现的功能：

- 在线修正标定参数；
- 在线预警：当参数异常时发出报警。





# 传感器外参动态修正：思路1——手眼标定



机械臂底座和标定板的位置不变，已知 $T_{base}^{hand}$ ，通过机械臂的运动，求出hand到eye的位置关系 $T_{hand}^{cam}$ ：

$$T_{base}^{hand_1} T_{hand}^{cam} T_{cam_1}^{object} = T_{base}^{hand_2} T_{hand}^{cam} T_{cam_2}^{object}$$

$$\underbrace{T_{base}^{hand_2}^{-1} T_{base}^{hand_1}}_A T_{hand}^{cam} = T_{hand}^{cam} \underbrace{T_{cam_2}^{object} T_{cam_1}^{object}^{-1}}_B$$
$$A * X = X * B$$

其中， $T_{base}^{hand_1}$ 和 $T_{base}^{hand_2}$ 已知， $T_{cam_2}^{object}$ 和 $T_{cam_1}^{object}$ 未知，需要从相机成像结果中求出，具体参考内参标定部分中的 $(R, t)$ 估计。

通过多个位置映射关系，构建优化问题，求解得到 $T_{hand}^{cam}$ [1][2]。

两个传感器，通过观测同一组运动，可求出传感器之间的位姿关系。

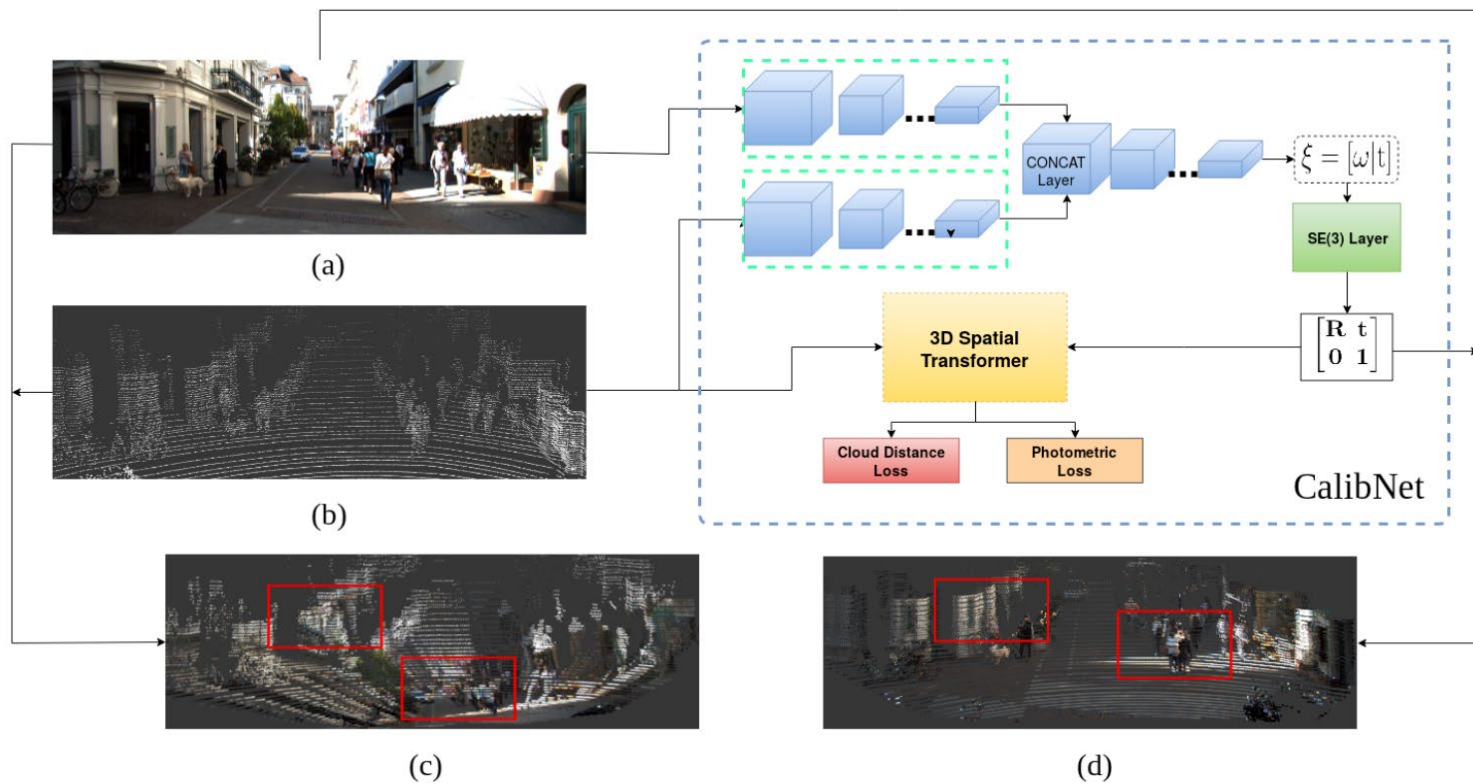
如：LiDAR通过ICP等算法、Camera通过特征点或语义特征，结合IMU(GNSS)的里程计，构建动态手眼标定问题，动态修正外参。

[1] Y. Shiu, S. Ahmad Calibration of Wrist-Mounted Robotic Sensors by Solving Homogeneous Transform Equations of the Form  $AX = XB$ , 1989.

[2] R. Tsai, R. Lenz A New Technique for Fully Autonomous and Efficient 3D Robotics Hand/Eye Calibration, 1989.



## 传感器外参动态修正：思路2—— DeepLearning方法



- a. RGB图片
- b. LiDAR PointCloud
- c. 未标定前投影
- d. 标定后投影

- 优点：可以获取全面的特征信息，用于估计外参
- 缺点：由于R的约束问题，外参估计不是特别稳定，特别是姿态角

# 感谢聆听！

Thanks for Listening

